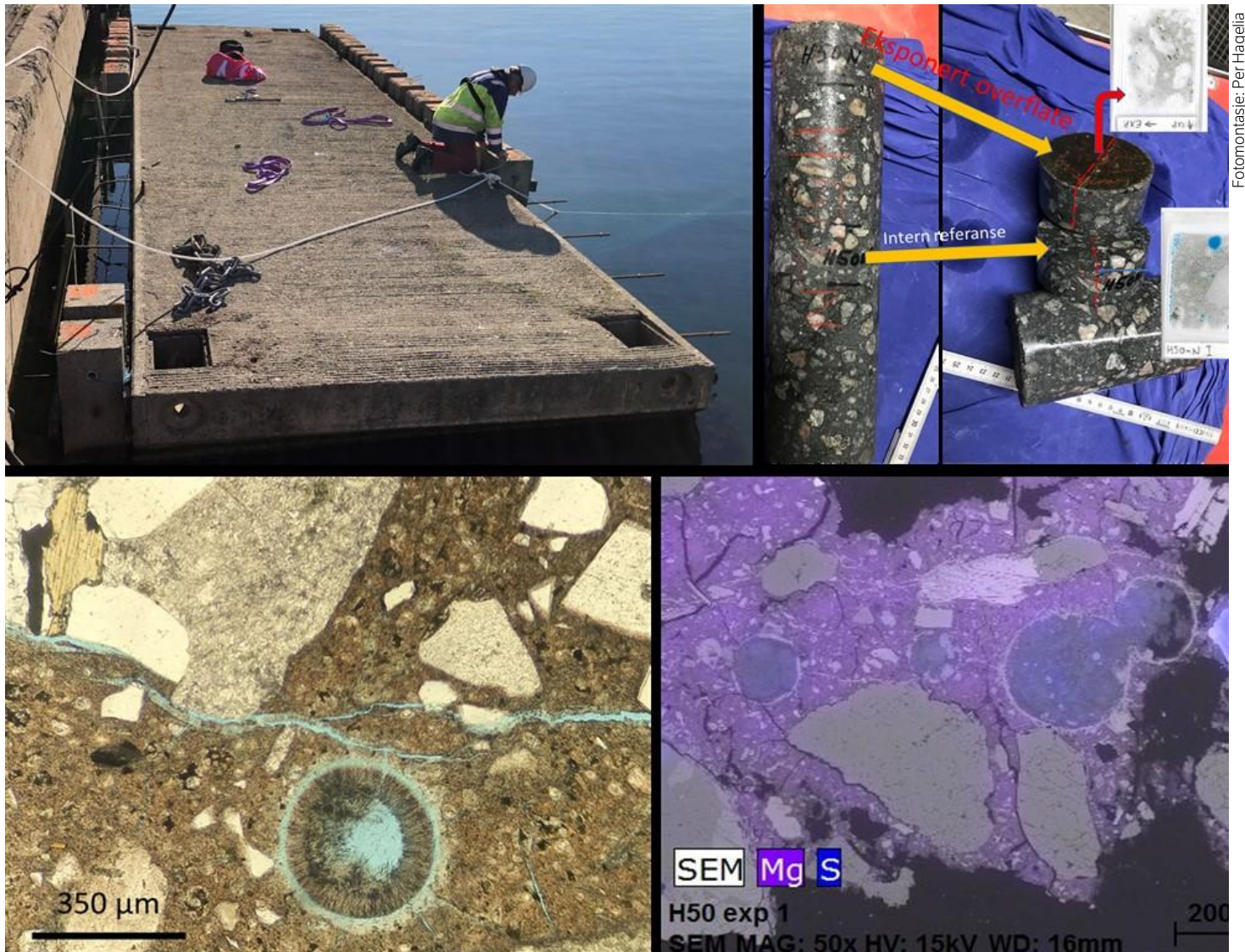


Mikroskopisk undersøking av betong

Innverknad av brakkvatn i Kristiansand testfelt

STATENS VEGVESENS RAPPORTER

Nr. 878



Tittel

Mikroskopisk undersøking av betong

Undertittel

Innverknad av brakkvatn i Kristiansand testfelt

Forfatter

Per Hagelia

Avdeling

Konstruksjoner

Seksjon

Konstruksjonsteknikk

Prosjektnummer

Per Hagelia

Rapportnummer

878

Prosjektleder

Bård M. Pedersen

Godkjent av

Øyvind Bjøntegaard

Emneord

Testfelt, betong, eksponeringsmiljø, nedbrytingsmekanismar

Sammendrag

Denne rapporten dokumenterer nedbrytingsmekanismar i testbetong eksponert i Kristiansand i 25 år. Eksponeringsmiljøet her er brakt sjøvatn med varierande salinitet over årstidene. Tynnslip av tre ulike betongar blei undersøkte i polarisert lys og Scanning elektronmikroskop. Referansebetongen var minst påverka medan betong med høgt innhald av silikastøv og høgt bindemiddelinnehald hadde ei porøs ytre sone påverka sulfat og magnesium. Betong med kalkfiller viste eit tidleg stadium av thaumasitt sulfatangrep og djupare magnesiumangrep med diffus utluting av cementpastaaen. Alle betongreseptane var tydeleg påverka av kloridinntrenging.

Title

Microscopical examination of concrete

Subtitle

Influence of brackish water at the Kristiansand test site

Author

Per Hagelia

Department

Structures

Section

Structural Engineering

Project number

Per Hagelia

Report number

878

Project manager

Bård M. Pedersen

Approved by

Øyvind Bjøntegaard

Key words

Test site, concrete, exposure environment, deterioration mechanisms

Summary

This report provides documentation of deterioration mechanisms in concrete exposed for 25 years in brackish seawater with variable seasonal salinity. Thin sections from three concrete mixes were examined in polarised light and by SEM. The reference concrete was least affected whilst concrete with high contents of silica fume and high binder contents had a porous outer zone influenced by sulfate and magnesium. Concrete with limestone filler showed an early stage of thaumasite sulfate attack and a deeper magnesium attack with diffuse leaching of the cement paste matrix. All concretes were significantly influenced by chloride penetration.

Innhold

| | |
|---|----|
| Samandrag | 2 |
| 1 Bakgrunn og problemstilling | 3 |
| 2 Feltstasjonen i Kristiansand | 5 |
| 2.1 Lokalisering ved Fiskå | 5 |
| 2.2 Sjøvasstemperatur | 5 |
| 2.3 Eksponeringsforhold..... | 5 |
| 3 Prøver og analysemetodikk..... | 9 |
| 3.1 Reseptar | 9 |
| 3.2 Utboring av kjerner | 9 |
| 3.3 Betongpetrografi og Scanning elektronmikroskopi (SEM) | 11 |
| 4 Resultat | 12 |
| 4.1 B50_N2, referansebetong..... | 12 |
| 4.1.1 Petrografi..... | 12 |
| 4.1.2 SEM | 13 |
| 4.2 F50_N2, høgt innhold av silikastøv..... | 15 |
| 4.2.1 Petrografi..... | 15 |
| 4.2.2 SEM | 17 |
| 4.3 H50_N2 med kalkfiller..... | 19 |
| 4.3.1 Petrografi..... | 19 |
| 4.3.2 SEM | 21 |
| 5 Diskusjon | 26 |
| 5.1 Eksponeringsforhold, nedbryting og mogleg vidare utvikling..... | 26 |
| 5.2 Kva kan vere årsaka til høgare kloridinnitrenging i brakkvatn enn i sjøvatn?..... | 27 |
| 6 Konklusjon | 28 |
| 7 Referansar | 29 |
| Vedlegg 1 Oppsummering av resultat frå Blindtarmen i Oslo (1957-1971)..... | 31 |
| Vedlegg 2 Betongreseptar – feltstasjonen ved Fiskå, Kristiansand..... | 32 |

Samandrag

Denne rapporten dokumenterer tilstandsutvikling i testbetong eksponert i Kristiansand i 25 år. Eksponeringsmiljøet på testfeltet er brakt sjøvatn med varierende salinitet over årstidene. Tre utvalde betongreseptar blei undersøkt med tanke på nedbrytingsmekanismer i neddykka deler av betongen. Analysane omfatta mikroskopering av betongtynnslip i polarisert lys og med Scanning elektronmikroskop. Resultata viste at referansebetong med v/b = 0,38 og 4 % silikastøv var svært lite påverka av sulfat og viste ikke innstrenging av magnesium. Ein betongrezept med v/b = 0,42; 12,5 % silikastøv og høgt bindemiddelinnehald hadde ei ytre porøs sone påverka sulfat, utluting av kalsium og magnesium silikathydrat inntil 3 mm og med sekundær ettringitt utfelt på overflateparallel riss. Denne er dermed potensielt mindre motstandsdyktig enn referansebetongen. Den tredje betongresepten med v/b = 0,40 og 17,5 % kalkfiller viste eit tidleg stadium av thaumasitt sulfatangrep og djupare magnesiumangrep med diffus utluting av cementpastaen lokalt inntil 1-2 cm. Denne resepten var tilsynelatande mest open for vidare nedbryting. Alle betongreseptane var tydeleg påverka av kloridinntrenging.

1 Bakgrunn og problemstilling

Statens vegvesen etablerte i 1994 ein teststasjon for eksponering av betong i sjøvatn med ei rad ulike reseptar i Kristiansand (Isaksen & Holtmon 1994). Prøvene blei samla inn etter 25 års eksponering den 25. august 2020 og går inn i eit utvida prøvingsprogram innan FoU-prosjektet «DURMARE» (2021-2024) i samarbeid med NTNU. Figurane 1 og 2 viser lokaliseringa av feltstasjonen rett ved utrensla til Fiskåbekken. Ei av problemstillingane i DURMARE er å avklare effekten av sulfat i sjøvatn med tanke på tilstandsutvikling i konstruksjonsbetong.

Hensikta med denne rapporten er undersøke eit utval av prøver med tre reseptar for å samanlikne effektar av påverknad frå sjøvatn. Det er her lagt særleg vekt på mogleg utvikling av Thaumasitt Sulfatangrep (TSA) i resept med kalkfiller. Hypotesen var at resept med kalkfiller kunne vere meir utsatt for thaumasittangrep enn reseptar utan kalkfiller.

Thaumasitt, med forenkla kjemisk samansetning $\text{CaSiO}_3 \cdot \text{CaSO}_4 \cdot \text{CaCO}_3 \cdot 15\text{H}_2\text{O}$, dannast i prinsipp på bekostning av kalsium-silikat-hydrat (C-S-H) og kan føre til fullstendig nedbryting av cementlimet (Crammond mfl. 2003). Omfattande TSA er kjent frå gammal konstruksjonsbetong i alunskifermiljø i Oslo basert på Portlandsement utan spesielle tilsettingssstoff (v/c var $> 0,50$). Sulfatangrepet i alunskifer, undersøkt av Alunskiferutvalget, blei opphavleg tolka som sekundært ettringittangrep (Bastiansen mfl. 1957, Moum og Rosenqvist 1959, Fiskaa mfl. 1971). Men petrografiske undersøkingar av gjenverande testprismar etter langtidseksposering i den såkalla «Blindtarmen» i Oslo sentrum viste at årsaka var TSA i kombinasjon med syreangrep og indre karbonatisering («Popcorn calcite» – PCD). Testprismar frå «Blindtarmen» (10 cm x 10 cm x 40 cm) viste variabel nedbryting med ytter utvaska betong i direkte kontakt med svovelsurt vatn, følgd av ei sone med utfelling av PCD og ei indre sone med TSA mot relativt upåverka betong (Hagelia og Sibbick 2009). Fiskaa mfl. (1971) rapporterte at «*Tilsetting av finmalt kalsitt eller kalkstensmel i det fine tilslaget har vist seg ugunstig*», med større grad av nedbryting av cementlimet enn referansebetong, volumtap og svekking av trykkstyrken (30-50 %). Også tilsetting av 4 % luft hadde negativ effekt med større grad av nedbryting enn referansebetongen, og reflekterer truleg auka permeabilitet. v/c-talet var 0,51-0,52 i desse reseptane (Vedlegg 1). *Forsøket i «Blindtarmen» omfatta også ein serie nr 6 med v/c = 0,62 tilsett 15 % silikastøv frå Fiskaa verk: «Mere overraskende var det imidlertid at serie 6 viste så gode resultater». Denne betongen viste seg å vere uskadd i 1960, etter åtte års eksponering og hadde svært lite volumtap etter 20 års eksponering (Fiskaa mfl., 1971, 1973). Dette er interessant i historisk samanheng, og viser at silikastøv inntil omkring 1960 var ukjent som tilsettingssstoff.*

Thaumasitt er observert i moderne sprøytebetong, både i alunskifer- og undersjøisk miljø. I begge tilfelle ser ein thaumasittutfellingar i porer og riss («Thaumasite formation» – TF) og med delvis nedbryting av cementlimet (fullskala TSA, ofte med PCD). Sprøytebetongen i alunskifermiljø, år var basert på sulfatresistent Portland seament med v/b = 0,40 til 0,50 og tilsett 5-10 % silikastøv (Hagelia mfl. 2001, 2003; Hagelia 2011, 2018). TF og TSA i undersjøisk sprøytebetong (v/b = 0,45 til 0,55 med 1-14 % silikastøv) er observert i relativt tynne sprøytebetongsjikt (< 50-100 μm) og med innverknad av magnesium frå sjøvatnet, dels i form av brucitt (Mg(OH)_2) og dels med Mg som substituerer for Ca i cementlimet (M-S-H) (Hagelia 2011, 2018). Indre karbonatisering i form av PCD dannast i kontakt med oppløyst bikarbonat frå eksternt vatn eller karbonat frå tilslaget og er ikkje direkte relatert til atmosfærisk CO₂. Det er ofte ein nær samanheng mellom TSA, PCD og utvasking av kalsium frå cementpasta under eksponering av sulfatførande og samtidig surt vatn. TSA er likevel ikkje avgrensa til svovelsurt vatn: Thaumasitt dannast ved pH ≈ 11 og kan vere stabilt til pH litt under 7 (Crammond 2003).

Mikroskopisk undersøking av betong eksponert i sjøvatn i 25 år

I følgje NS-EN 206+NA er maksimalt innhold av kalkfiller til betong i kontakt med sulfatførande grunn er 5 % av bindemiddelvekt. Effektar av ulike mengder kalkfiller er blitt undersøkt i fleire forskingsmiljø, og resultata er ikkje eintydige. Årsaka til dette ligg truleg i at ein ikkje har brukta heilt like betongblandingar, geologisk sett ulike typar kalkfiller, og at dei eksperimentelle forholda også kan ha vore noko forskjellig.

Alunskiferutvalget testa betong med 8 % kalkfiller i Blindtarmen. Dette førte til merkbart forsterka sulfatangrep samanlikna med tidlegare ordinær norsk portlandsement, med stort volumtap (Fiskaa mfl. 1971, 1973). Det var likevel ein viss forskjell mellom type kalkfiller, der knust urein kalkstein frå Franzefoss ($D_{50} = 0,01$ mm, $v/c = 0,52$) ser ut til å påført litt meir skade enn knust rein kalsitt ($D_{50} = 0,03$ mm, $v/c = 0,51$). Dette trass i at resepten med knust urein kalkstein hadde mykje lågare utgangspermeabilitet enn resepten med knust kalsitt (Vedlegg 1). Svært finknust kalkstein med høg spesifikk overflate vil i prinsipp vere meir løyseleg; bidra med meir karbonat enn grøvre knust kalkstein og har dermed størst potensial for TSA i alunskifermiljø. Eksempelet med kalksteinsfiller frå Franzefoss tyder på at betong med i utgangspunktet svært låg permeabilitet («god filler effekt») likevel ikkje er motstandsdyktig mot TSA.

Hooton mfl. (2002) fann ikkje eksempel på TSA i europeisk og nordamerikansk betong med kalksteinsfiller i sement opp til 5 %, og understreka at effekten av sement med kalkstein er avhengig av kvaliteten til kalksteinen; på kva måte kalksteinen er blanda inn i sementen og fordelinga av partikkelstorleikar. Crammond (2003) fann at svært finkorna kalkfiller er mest reaktiv og derfor kan påverke omfanget av TSA. Men TSA blei også rapportert frå betong med rikeleg grøvre kalkstein utan nemneverdig innhold av finkorna kalkstein i filler fraksjonen. Potensialet for TSA aukar i takt med kalkfillerinnhaldet i intervallet over 6 %. Rahman og Bassuoni (2014) rapporterte at 5-10 % kalkfiller for det meste ikkje fører til TSA, men at potensialet for TSA typisk aukar med kalkfiller > 10 %. Det er likevel observert tilfelle med TSA ved < 5 % i betong basert på ordinær Portland sement. Sotiriadis mfl. (2013) fann at effekten av sulfat i nokre tilfelle aukar potensialet for TSA under innverknaden av klorid.

Elles er det generelt dokumentert at TSA er avhengig av relativt låg temperaturar (5-15 °C) og at thaumasitt dannast i betong med pH mellom 10,5 og 13 (jamf. Crammond 2003). Thaumasitt dannast også i betong heilt utan kalkstein og i denne samanheng er det muleg at CO₂ i luft kan vere årsak (Zhou mfl. 2006). Undersøking av stabile C og O isotopar i sprøytebetong på alunskifer har vist at opphavet til karbonat i thaumasitt er både atmosfærisk CO₂ og kalsitt i skiferen (Hagelia 2011).

Ved vurdering av potensialet for thaumasittangrep er det viktig å avklare om betongen er eksponert for svovelsyre, sulfat, magnesium, karbonat og klorid. Vatn i kontakt med betong bør alltid analyserast med tanke på desse parametrane. Det finst ein del eksempel på thaumasittangrep i konstruksjonsbetong i marint miljø (bl.a. Crammond 2003, Sibbick mfl. 2003, Chabrelie 2010). Men vi manglar ennå ei systematisk undersøking av tilstandsutviklinga i konstruksjonsbetong med moderne betongreseptar over lang tid.

2 Feltstasjonen i Kristiansand

2.1 Lokalisering ved Fiskå

Feltstasjonen var lokalisert ved Fiskå rett ved Elkem Carbon (Figur 1). Området har brygger og strandlinje på tre sider med opning mot hamnebassenget mot aust. Sjødjupet på staden er omkring 3 meter.



Figur 1: Lokalisering av feltstasjonen vist ved sirkel rett ved utrensla fra Fiskåbekken.

2.2 Sjøvasstemperatur

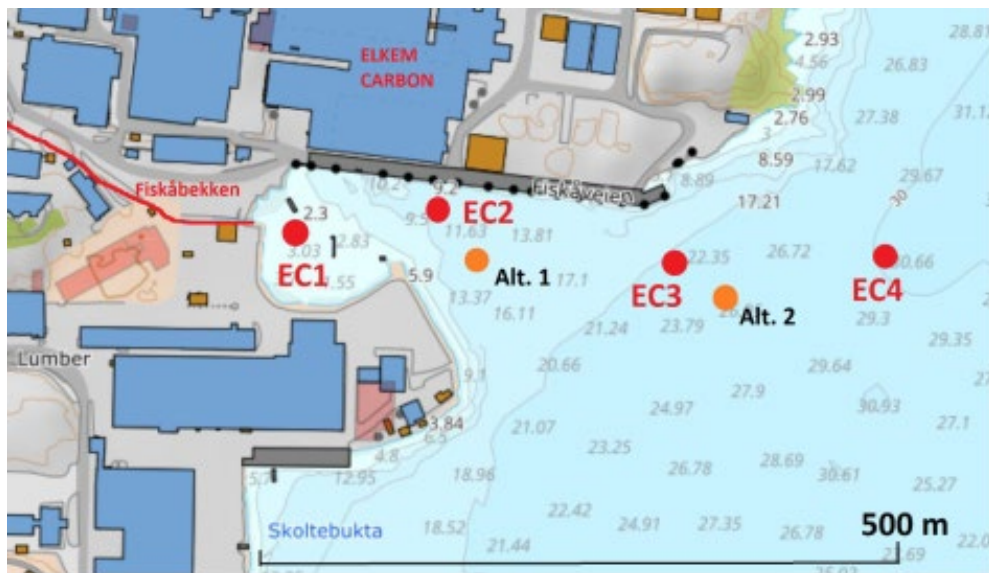
Gjennomsnittlig årleg sjøvasstemperatur i Kristiansand er 9,9 °C med 5,3 °C om vinteren og 15,8 °C om sommaren. Haust og vår temperaturane overskrid i blant 15 °C, medan sommartemperaturane for det meste er høgare enn 15 °C ([Vanntemperatur i Kristiansand i Nordsjøen nå \(seatemperature.net\)](#)).

2.3 Eksponeringsforhold

Fiskåbekken renner ut like ved feltstasjonen. Dette er ferskvatn i form av bekkevatn og kjølevatn fra Elkem Carbon. Så vidt vi kjenner til er det ikke utført kjemiske analysar av vatnet med tanke på Cl, Mg og sulfat her. Men NIVA overvakar avrenningsvatn frå Elkem Carbon, blant anna ved monitorering av vassføring ut frå Fiskåbekken. Ein har etablert salinitetsprofilar på fleire stader frå området ved feltstasjonen og utover i hamnebassenget (Figur 2). Overflatevatnet ved feltstasjonen (som var plassert ved monitorpunkt EC1, Figur 2) og utover i sjøen (EC2, EC3, EC4) er brakkvatn, og saliniteten aukar generelt mot djupet (Næs mfl. 2021). Full salinitet på 3,5 % eller 35 psu (psu = practical salinity unit) er bare registrert mot sjøbotnen lang ute i hamnebassenget.

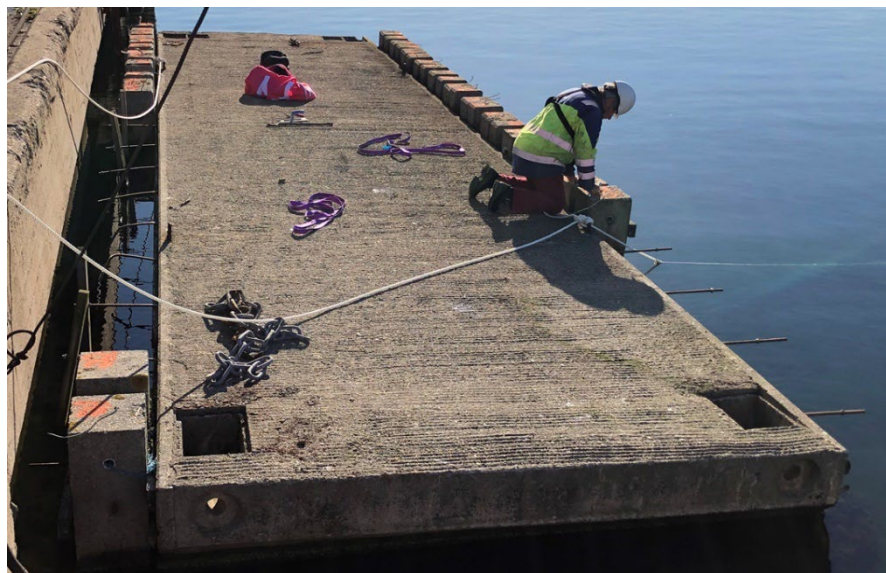
Saliniteten på feltstasjonen har veksla i takt med nødbørsmengder og truleg også ved utslepp av kjølevatn frå Elkem Carbon. Dette betyr at Eksponeringsklassane i hht. NS-EN 206+NA har variert over tid. *Vurderingane av nedbrytingsomfanget i betongprøvene må sjåast i lys av lokal variasjon i salinitet.*

Mikroskopisk undersøking av betong eksponert i sjøvatn i 25 år



Figur 2: Fiskåbekken renner ut like ved feltstasjonen. Lokalitetar for monitorering av vatn er vist med raude punkt (NIVA; Næs mfl. 2021). Monitorområdet EC1 er representativt for eksponeringsmiljøet på feltstasjonen.

Feltstasjonen var plassert på ei lita flytebrygge som bevega seg opp og ned i takt med tidevatnet for å sikre mest mogleg lik eksponering av betongprøvene over tid (Figur 3). Den nedre halvdelen av prøvene (0,5 meter) var i praksis alltid neddykka medan den øvre halvdelen stakk opp over vassflata og var variabelt påverka av bølgjer og sjøsprut.



Figur 3: Feltstasjonen var plassert på flytebrygge. Foto: Stig H. Helgestad, Statens vegvesen.

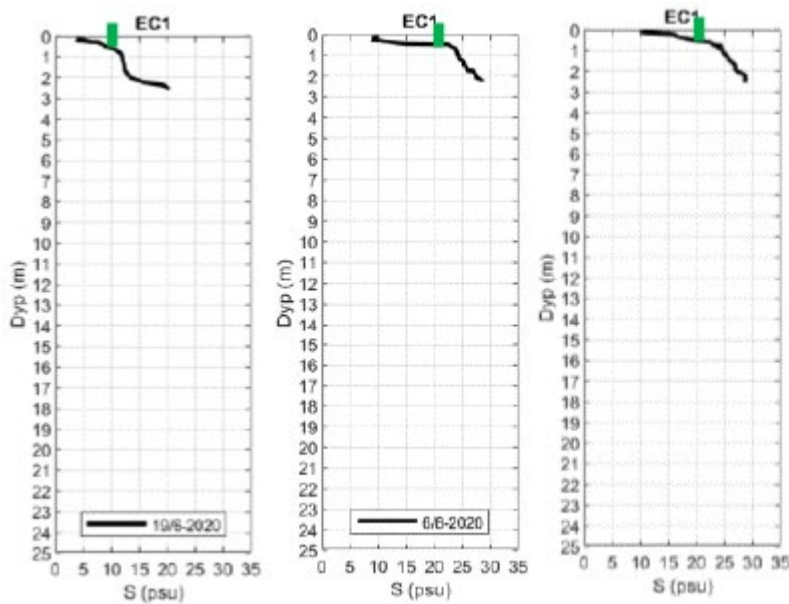
Figur 4 viser sterkt varierande vassføring ved utløpet av Fiskåbekken over 23 månader (1 januar 2019 til 2 november 2020). Variasjonen før 2019 er ikkje kjent, men ein bør rekne med liknande årstidsvariasjonar over historia til testfeltet. Figur 5 viser tre salinitetsprofilar frå monitorpunkt EC1 rett ved feltstasjonen frå siste halvdel av 2020. Raude piler i Figur 4 viser omtrentlege tidspunkt for dei tre profilane: som i alle tre tilfelle viser forholdsvis låg vassføring frå Fiskåbekken (ca. 100 liter/sekund) samanlikna med andre tidspunkt. Næs mfl. (2021) har med utgangspunkt i data i Figur 4 rekna ut at vassføringa frå bekken var 100 liter/sekund i 43 % av tidsrommet (med salinitetar mellom

Mikroskopisk undersøking av betong eksponert i sjøvatn i 25 år

5 og 20 psu ved 0 til 0,5 m djup, sjå Figur 5), 200 liter/sekund i 38 % av tida (neppe over 10 psu), 300 liter/sekund i 23 % av tida (neppe over 5 psu) og over 400 liter/sekund i 10 % av tida (under 5 psu). I berre 5 % av tida har det ikkje vore nemneverdig tilførsle av ferskvatn til feltstasjonen og muleg høg salinitet også i overflatevatnet.



Figur 4: Vassføring frå Fiskåbekken rett ved feltstasjonen over nesten to år. Det var stor tilførsle av ferskvatn til overflatevatnet der betongprøvene var eksponerte. Vassføringa var over 200 liter/sekund i 38 % av tida over dette intervallet og null liter/sekund i 5 % av tida. Pilene refererer til salinitetsprofilar ved EC1 i Figur 5 (data frå NIVA; Næs mfl. 2021).



Figur 5: Salinitetsprofilar ved EC1 på tre ulike tidspunkt viser at overflatevatnet dei første ca. 0,5 m var brakkvatn (data frå NIVA; Næs mfl. 2021). Desse representerer situasjonar der vassføringa frå Fiskåbekken neppe var over 100 liter/sekund. Grøne felt illustrerer plasseringa av testbetongen og viser hhv. 5-10 psu, 10-20 psu og 10-20 psu ved djup 0 til 0,5 m.

Med utgangspunkt i data referert til over er det muleg å gje ei kvalifisert vurdering og utrekning av salinitetsvariasjonar på feltstasjonen. Føresetnadene er: 1) at tilførsla frå Fiskåbekken har variert omrent på same måten som vist i Figur 4 over 25 år, og 2) at ein legg til grunn salinitetsvariasjonar mellom 0 og 0,5 meters djup som tilsvarar lengda av prøver under vassnivå (Figur 5). Vi bruker analyse

Mikroskopisk undersøking av betong eksponert i sjøvatn i 25 år

av lekkasjевatn fra den undersjøiske Flekkerøytunnelen ved Kristiansand som representerer full salinitet (psu = 35). Denne er svært lik djupt sjøvatn i Oslofjorden (Tabell 1). Innholdet av bikarbonat er rekna ut på basis av analysar av alkalinitet. Vurdert ut frå figurane 4 og 5 er det sannsynleg at saliniteten på feltstasjonen har variert mellom 5 og 25 psu (0,5-2,5 %). Ved vassføring på 100 liter/sekund er ikkje saliniteten høgare enn 20 psu. Sett i lys av at tilførsla av ferskvatn frå Fiskåbekken er over 200 liter/sekund i 71 % av tida er det urealistisk å tenke seg at saliniteten på testfeltet på noko tidspunkt har vore høgare enn 25 psu. Tala tyder på at saliniteten har variert mellom 5 og 20 psu i over halvparten av eksponeringstida. Dette er brukt som grunnlag for å estimere eksponeringsklassar i samsvar med NS-EN 206+NA.

Tabell 1 viser ionekoncentrasjonar rekna ut som fortynning av sjøvatn med ferskvatn for tre ulike salinitetar. Vi antar at konsentrasjonar av Na, Cl, Mg, sulfat og bikarbonat i tilført ferskvatn er 0 mg/L. Data frå Miljødirektoratet viser at dette for alle praktiske formål er rett: Reelle konsentrasjonar av Na, Cl, Mg og sulfat i lokalt ferskvatn er under 10 mg/L ([Vannmiljø \(miljodirektoratet.no\)](#)). Bikarbonatkonsentrasjonane i bekker på Sørlandet er i tillegg ekstremt låge (oftast 0,01 - 0,2 mg/L). Lokale bekkar i Kristiansandsregionen har pH på mellom 6,2 og 7, medan sjøvatn har pH omkring 8. pH-verdien på feltstasjonen er sett til 7 for alle estimata og urealistisk å anta pH < 6,5 (som ville påverke klassifiseringa etter NS-EN 206+NA). Innholdet av sulfat og bikarbonat i brakkvatnet har hhv. variert mellom ca. 370 og 1850 mg/L og ca. 20 til 100 mg/L.

Tabell 1: Analysar av sjøvatn frå Oslofjorden og Flekkerøytunnelen med estimerte ionekoncentrasjonar og eksponeringsklassar på feltstasjonen, basert på vassføring frå Fiskåbekken og salinitetar ved målestasjonen EC1. Eksponeringsklassane for kjemisk angrep (XA-klassar) er definert ut frå pH og Mg- og sulfatkonsentrasjonar, medan klassane for korrosjon (XS-klassar) i følgje NS-EN 206+NA er definert av ulike kontaktforhold med sjøvatn.

| | Oslofjorden 60 m.u.h. (S=35 psu) | Flekkerøy- tunnelen (S=35 psu) | Estimert max (S = 25 psu) | Estimert mid. (S = 10 psu) | Estimert min. (S = 5 psu) |
|---|--|--------------------------------------|------------------------------|-------------------------------|------------------------------|
| Na ⁺ (mg/L) | 10800 | 10200 | 7286 | 2914 | 1457 |
| Cl ⁻ (mg/L) | 18600 | 18700 | 13357 | 5343 | 2671 |
| Mg ²⁺ (mg/L) | 1370 | 1310 | 936 | 374 | 187 |
| SO ₄ ²⁻ (mg/L) | 2630 | 2600 | 1857 | 743 | 371 |
| HCO ₃ ⁻ (mg/L) | 144 | 146 | 104 | 42 | 21 |
| pH | 7,74 | 8,07 | 7 | 7 | 7 |
| Eksponeringss- klasser (NS-EN 206+NA) | XA3 XS2 | XA3 XS2 | XA2 XS2 | XA2 XS2 (?) | XA1 XS2 (?) |

Resultata viser at det kjemiske eksponeringsmiljøet ved feltstasjonen er brakkvatn og klassifiserer som XA1 til XA2 (NS-EN 206+NA). Feltstasjonen og prøvene har neppe blitt eksponert for klasse XA3 (sjøvatn). Vi bruker eksponeringssklasse XS2 som gjeld permanent neddykka betong i sjøvatn. NS-EN 206+NA definerer eksponeringssklasser for korrosjon i «kontakt med sjøvatn» (XS-klassar) utan referanse til kloridionekonsentrasiøn. Med tanke på reell påverknad er det derfor usikkert om XS2 er riktig ved låge salinitetar (5 til 10 psu).

Dei same reseptane er også eksponert for sjøvatn med full salinitet i Sandnessjøen i 21 år. Det viser seg at kloridinnitrenginga i prøvene frå Kristiansand er høgare enn i Sandnessjøen, trass i merkbart lågare salinitet ved feltstasjonen nær Fiskåbekken. Dette er diskutert vidare i Kapittel 5.2.

3 Prøver og analysemetodikk

3.1 Reseptar

Tabell 2 gir oversikt over betongreseptane og Vedlegg 2 gir utfyllende informasjon. Det blei tilført luft (L-stoff) til både referansebetongen B50_N2 og H50_N2 med kalkfiller. Begge desse har omtrent same mengde silikastøv (4 %). Recepten for F50_N2 blei laga med svært høg silikadosering (12,5 %) og høgare bindemiddelinnhald (449 kg/m³) enn i dei to andre reseptane (387 og 400 kg/m³).

Tabell 2: Betongreseptar som er undersøkt. B50-N2 er referansebetong. Silikastøv er oppgitt i % av sementvekt.

| Prøve | v/b | Silikastøv (SF) (%) | Luft målt (%) | Kalkfiller (%) | Bindemiddel: Sement + SF (kg/m ³) | Sugporositet (%) |
|--------|------|------------------------|------------------|-------------------|---|---------------------|
| B50-N2 | 0,38 | 4,1 | 4,2 | 0 | 371 + 15,5 | 11,2 |
| F50-N2 | 0,42 | 12,5 | 1,2 | 0 | 399 + 49,9 | 14,8 |
| H50-N2 | 0,40 | 3,9 | 3,1 | 17,5 | 385 + 15,1 | 11,9 |

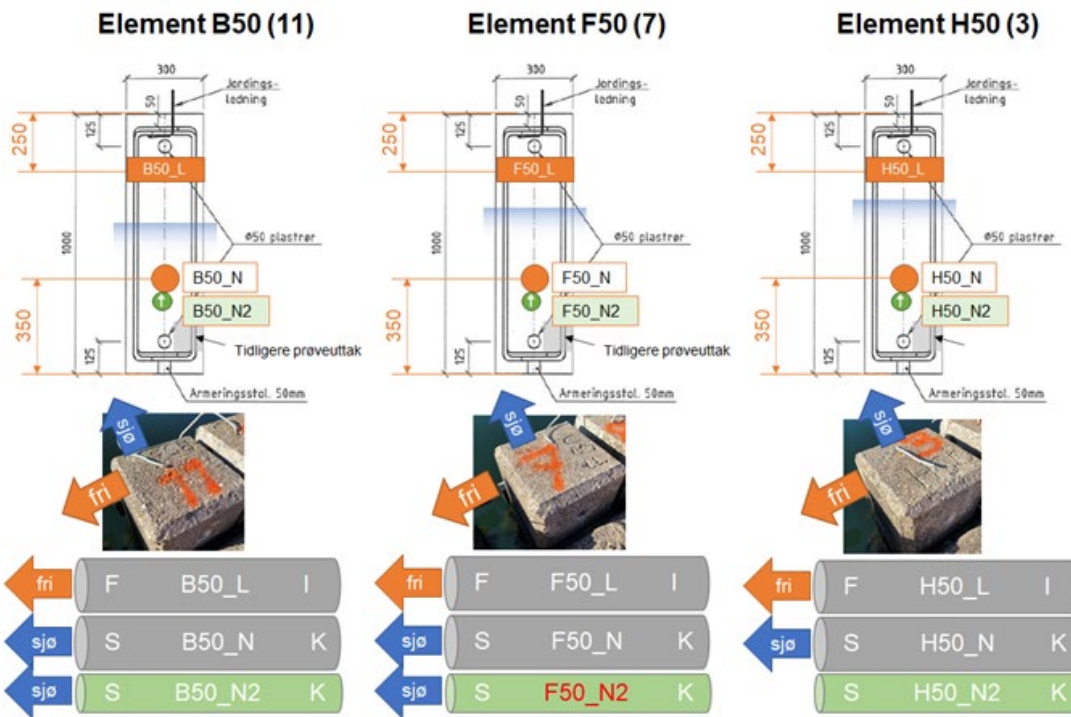
3.2 Utboring av kjerner

Figur 6 viser toppen av dei tre betongprismane før dei blei henta opp av sjøen. Dimensionane til prøvene var 30 cm x 30 cm x 100 cm. Det blei bora ut ei kjerne frå kvar resept ($\Phi = 70 \text{ mm} \times 300 \text{ mm}$). Kjernene blei bora tvers gjennom betongprismane, med ein ende ut mot sjøen og den andre enden inn mot kaia. Dei aktuelle kjernene er farga med grønt og merka med pil i Figur 7.



Figur 6: Prøvene B50-N2 (11), F50-N2 (7) og H50-N2 (3) på feltstasjonen. Foto: Stig H. Helgestad, Statens vegvesen.

Mikroskopisk undersøking av betong eksponert i sjøvann i 25 år



Figur 7: Prinsippskisse over eksponerte prøver og uttak av borekjerner for analyse. Vassnivået er vist med blå farge. Kjernene B50-N2, F50-N2 og H50-N2 (grønne punkt med piler) blei bora ut frå permanent neddykka deler frå sidene som vender utover mot sjøen. Illustrasjonar: Karla Hornbostel/Eva Rodum, Statens vegvesen.

Figur 8 viser foto av dei tre kjernene. Kjernene inklusive dei ytre eksponerte flatene var ikke synleg påverka av nedbryting. Figur 9 viser prinsippet for kapping av delprøver med diamantsag for preparering av tynnslip. Det blei deretter laga eitt tynnslip frå ytre eksponert betong som vendte mot «sjø» og eitt referansetynnslip frå midten av kvar kjerne omkring 15 cm inn frå begge eksponerte ytterflatene.



Figur 8: Foto av kjernene H50-N2 (lab-prøvenr. Sentrallaboratoriet 6200002-65), FB50-N2 (6200002-66) og referansebetong B50-N2 (6200002-67). Kjernene hadde blitt pakka godt inn i fleire lag plastfolie rett etter utboring. Foto: Per Hagelia.



Figur 9: Prinsipp for uttak av prøver til tynnslip. Ytterflata som vendte ut mot sjøen (sjå Figur 7) blei vald ut for undersøking (Eksponert overflate) og var merka med pil raud pil på dei mottekne kjernene. Foto: Per Hagelia.

3.3 Betongpetrografi og Scanning elektronmikroskopi (SEM)

Tynnslipa, totalt seks stykker, blei preparert ved Institutt for energiteknikk på Kjeller. Tynnslipa blei monterte på glas (28 mm x 48 mm), impregnert med lys blå epoxy for å få fram porestrukturen og høgglanspolerte for mikrokjemisk analyse.

Tynnslipa blei først undersøkte i polarisert lys med eit standard mikroskop for petrografisk analyse (Nikon Optiphot - Pol) hos Statens vegvesen. Denne metoden gir ein god oversikt over hovuddraga i dei ulike betongane og avdekker representative trekk for meir detaljert analyse.

Utvalde område blei deretter analyserte i Scanning elektronmikroskop (SEM) ved Naturhistorisk museum, Universitetet i Oslo. Det blei sprøyta på ei tynn hinne med karbon før analyse. Prøvene blei analysert i eit Hitachi S-3600N Scanning Electron Microscope. Instrumentet er utstyrt med ein Bruker XFlash® 5030 energidispersiv X-ray detektor (EDX), knytta til Quantax 400 (Esprit 1.9), for semi-kvantitativ element analyse og hyperspektral mapping. Prøvene blei analyserte ved «variable pressure mode (VP)» ved omkring 20 Pa; 15.0 kV akselerasjonsspenning og 50 nA stråle (beam current).

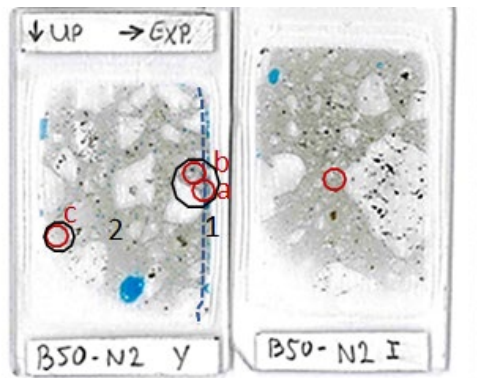
Analysane av dei ytre tynnslipa la vekt på overflatenær omvandling samt eit område lengst unna den eksponerte overflata (ca. 20-25 mm). Referansetynnslipa frå midten av dei store betongprismane blei analysert i eitt enkelt område sentralt i kvart tynnslip. Det blei lagt størst vekt på kjemisk analyse ved element mapping, som viser fordeling av element i utvalde område (S, Cl, Ca, Mg, m.m.), samt nokre få punktanalsar.

4 Resultat

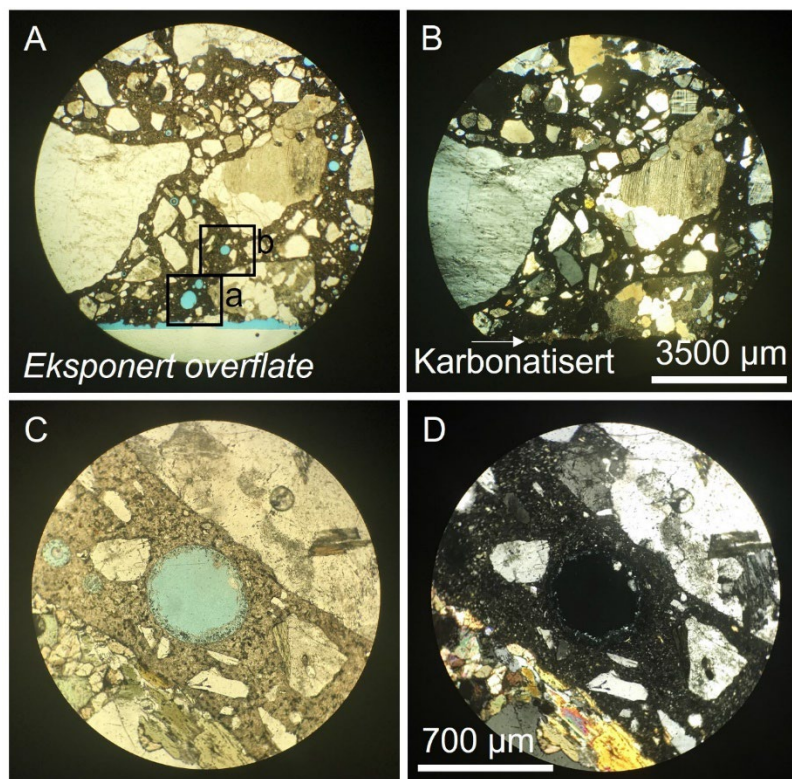
4.1 B50_N2, referansebetong

4.1.1 Petrografi

Figur 10 viser foto av tynnslipa fra referansebetongen. Tynnslip *B50_N2 Y* dekker den eksponerte overflata (pil – EXP) med markering av ei smal ytre reagert sone (1) og intakt gråbrun sementpasta (2) lenger inne. Referansetynnslip *N50_N2 I* frå 15 cm under overflata var karakterisert ved intakt gråbrun sementpasta. Steintilslaget var granitt eller granittisk gneis. Sandtilslaget var dominert av kvarts.



Figur 10: Referansebetong B50_N2. Foto av tynnslipa frå eksponert betong (venstre) og ueksponert referanse 15 cm under eksponert overflate (høgre). Sone 1 med karbonatisering og relativt intakt mørk pasta i mestedelen av tynnslipet (Sone 2), tilsvarende referansetynnslipet. Svarte sirkler = område vist i Figur 11. Rauda sirkler = undersøkt i SEM. Foto: Per Hagelia.



Figur 11: Referansebetong B50_N2 i planpolarisert lys (venstre) og dobbeltpolarisert lys (høgre). A & B: frå areal omkring eksponert overflate med områda a og b. C & D (område c): 20 mm under overflata med utfelling av ettringitt. Områda a, b og c blei undersøkt vidare i SEM. Foto: Per Hagelia.

Mikroskopisk undersøking av betong eksponert i sjøvatn i 25 år

Tynnslip B50_N2_Y. Figur 11 A & B frå den eksponerte overflata viser ei tynn fullt karbonatisert sone omkring 200-300 µm brei, og svakare karbonatisering inntil ca. 1500 µm. Cementpastaen innafor var tilsynelatande upåverka. Figur 11 C & D viser område c lokalisert omkring 20 mm under overflata. Cementpastaen var tilsynelatande upåverka, men med litt utfelt ettringitt i ei luftpore. Dette er stadfesta ved SEM-analyse (sjå Fig. 14 og 15).

Tynnslip B50_N2_I hadde ein del luftporer som tilsynelatande samsvarer med resepten (ikkje utført punkttelling). Thaumasitt blei ikkje observert. Tilsett silikastøv var godt dispergert, utan teikn på silika klumper i cementpastaen. Betongen hadde få mikroriss og var generelt i ein god tilstand.

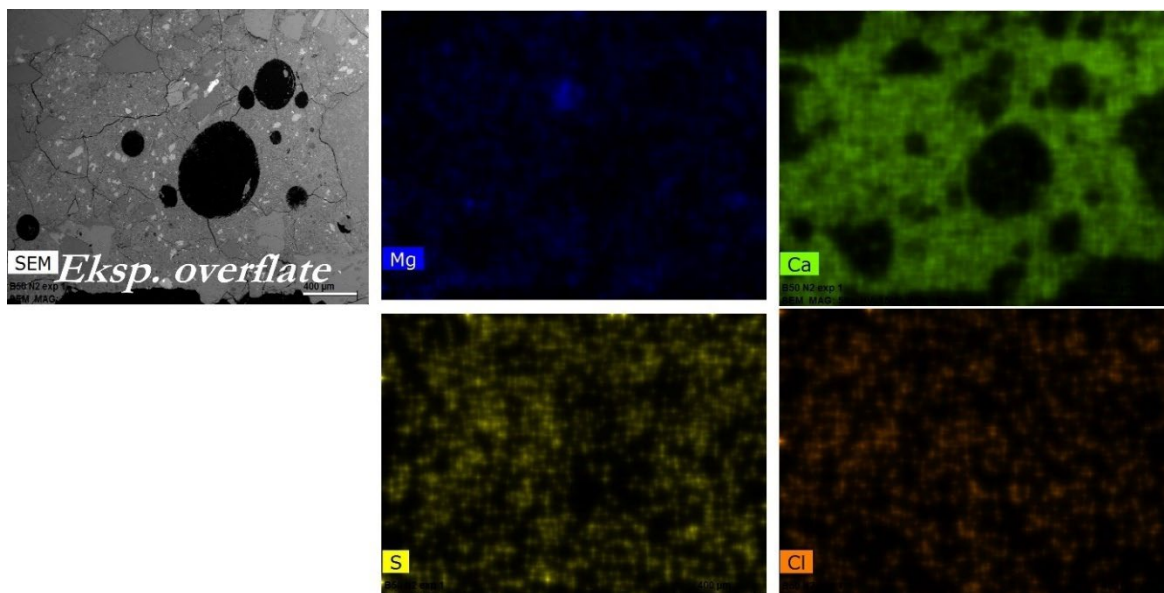
4.1.2 SEM

Ytre tynnslip B50_N2_Y

Område a (Figur 12). Cementpastaen var moderat påverka av sulfat og klorid og var rik på kalsium utan teikn på innetrenging av magnesium frå sjøvatnet.

Område b litt lengre inn (Figur 13) hadde også litt klorid og svovel i cementpastaen. Magnesium var avgrensa til tilslaget.

Magnesium i tilslagsminerala amfibol og biotitt er ikkje tilgjengeleg for porevatnet i betongen.



Figur 12: B50_N2_Y, område a. Målestokk = 400 µm. Foto/analyse: Nelia Castro, UiO/ Per Hagelia.



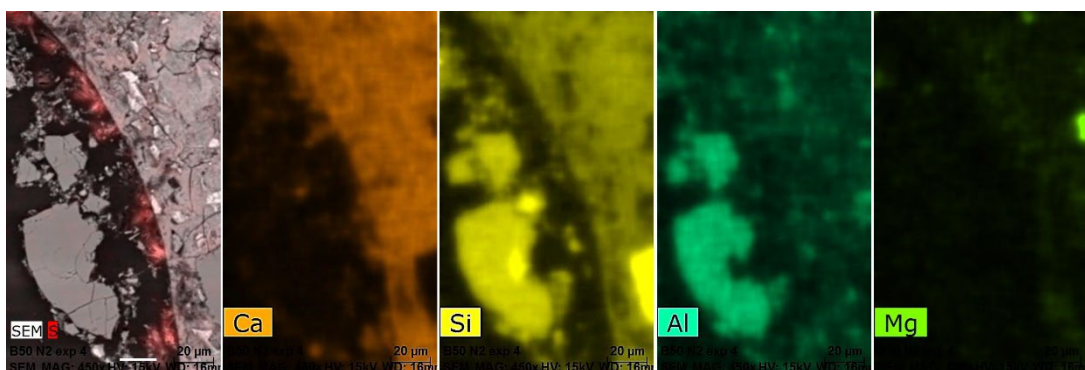
Figur 13: B50_N2_Y, område b. Målestokk = 400 µm. Foto: Nelia Castro, UiO/ Per Hagelia.

Mikroskopisk undersøking av betong eksponert i sjøvatn i 25 år

Område c (Figur 14) viste kloridinnitrenging i sementpastaen og innslag av svovel, for det meste knytta til sekundær ettringitt i luftporene. Figur 15 viser detaljar av nåleforma ettringitt som inneheld Ca, Al og S, og var utan Si. Sementpastaen til høgre i Figur 15 var heilt fri for Mg.



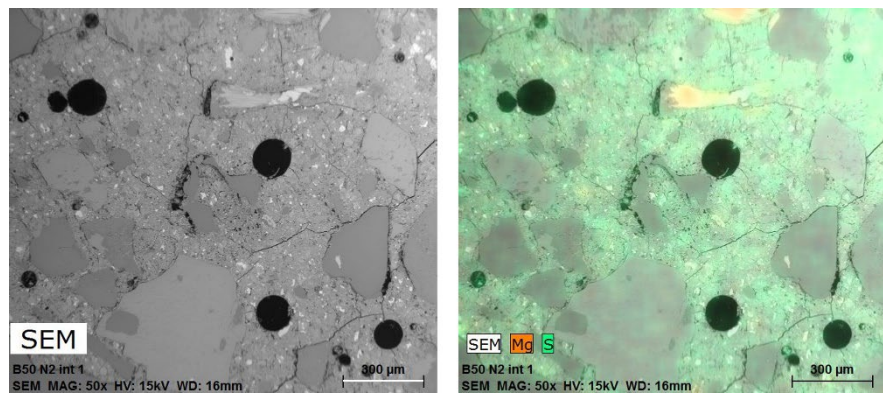
Figur 14: B50_N2 Y, område c omtrent 20 mm under eksponert overflate. Den kvite ramma viser lokaliseringa av Figur 15. Målestokk = 400 µm. Foto: Nelia Castro, UiO/ Per Hagelia.



Figur 15: B50_N2 Y. Detalj frå område c med utfelling av nåleforma sekundær ettringitt i luftpore. Dei større korna luftpora til venstre i bildet er kalifeltspat, truleg tilført ved prøvepreparering. Sementpastaen var utan magnesium, bortsett frå eitt punkt (truleg klinker). Målestokk = 20 µm. Foto/analyse: Nelia Castro, UiO/ Per Hagelia.

Referansetynnslip B50_N2 I

Prøva av ueksponert betong frå midten av testprismet hadde tydeleg innslag av svovel i sementpastaen (Figur 16) i samsvar med resepten. Det blei ikkje påvist klorid. Magnesium var avgrensa til glimmer og amfibol i tilslaget. Omfanget av mikroriss var lågt og ujamnt fordelt.

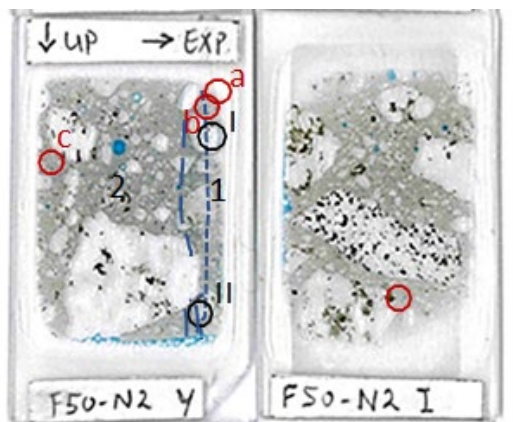


Figur 16: B50_N2 I. Referansetynnslip 15 cm under eksponert overflate med svovel i sementpastaen, med enkelte mikroriss. Målestokk = 300 μm . Foto: Nelia Castro, UiO/ Per Hagelia.

4.2 F50_N2, høgt innhold av silikastøv

4.2.1 Petrografi

Figur 17 viser foto av tynnslip F50_N2 Y fra den eksponerte overflata (pil – EXP) med markering av ei ytre reagert sone (1) og gråbrun sementpasta lenger inne (2). Referansetynnslip F50_N2 I fra 15 cm under overflata var karakterisert ved intakt gråbrun sementpasta. Steintilslaget var granitt/granittisk gneis. Sandtilslaget var dominert av kvarts.



Figur 17: Prøve F50_N2. Foto av tynnslipa fra eksponert betong (venstre) og ueksponert referanse 15 cm under eksponert overflate (høgre). Sone 1 ved overflata hadde kraftig utluta sementpasta med Popcorn kalsitt (PCD) og inntringing av magnesium. Sone 2 hadde tilsynelatende intakt pasta i mestedelen av tynnslipet, tilsvarende referansetynnslipet. Blå stipla linje internt i Sone 2 viser overflateparallelle riss 5 mm fra overflata. Svarte sirkler (I og II) = område vist i Figur 18 og 19. Rauda sirkler = område undersøkt i SEM. Foto: Per Hagelia.

Tynnslip F50_N2 Y var meir påverka enn referansebetongen (Område I, Figur 18). Sone 1 er samansett av ei ytre sone (ca. 1-1,5 mm) med sterk utluting av kalsium og utfelling av kalsitt i form av Popcorn kalsitt (PCD) og ei indre sone (inntil ca. 3,5 mm) med magnesiumførande pasta (M-S-H og brucitt). Sementpastaen i den ytre sona var svært porøs og hadde mista det meste av kalsiumet og er å rekne som silikagel («S-H»). Pasta med MSH er kjenneteikna ved lys pasta i planpolarisert lys (i kontrast til intakt pasta som er relativt mørkare) og grå pasta i dobbelpolarisert lys. Førekommst av MSH er nesten alltid assosiert med mikroriss. Vi har fast rutine på å verifisere førekommst av MSH ved SEM-analyse.

Mikroskopisk undersøking av betong eksponert i sjøvatn i 25 år

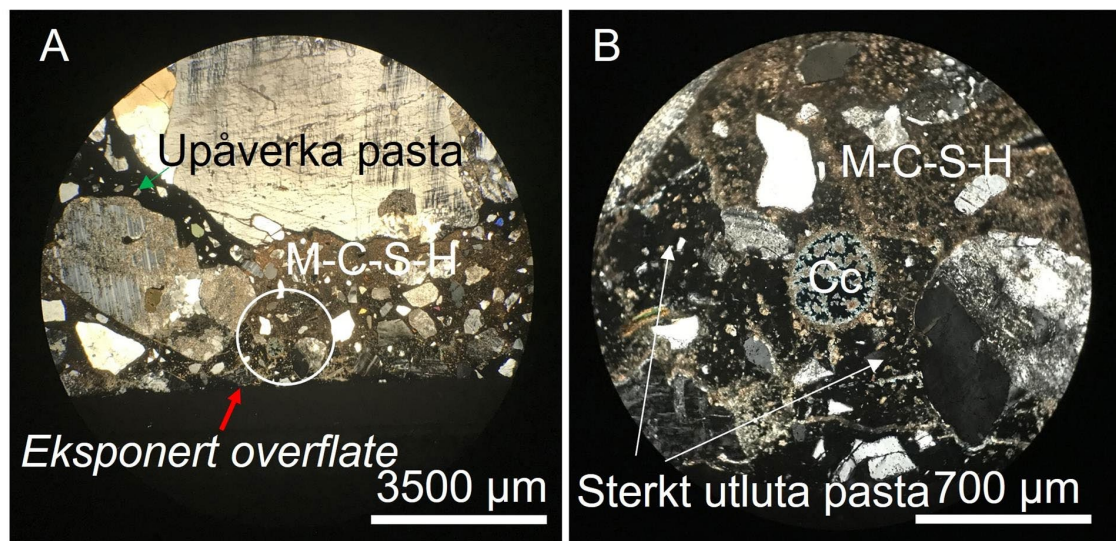
Det var utvikla to typar overflateparallelle riss:

1) Riss i Sone 1 med omfattande utfelling av karbonat i utluta sementpasta, lokalt også brucitt (SEM analyse frå område a, Figur 20 & 21).

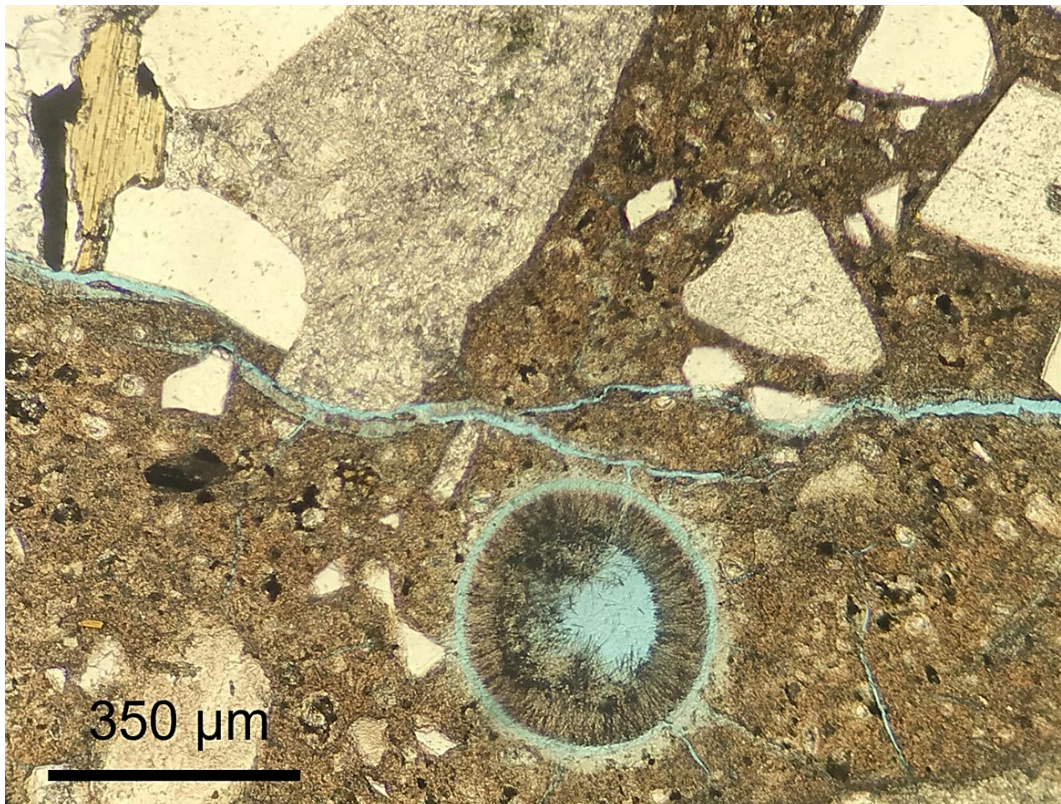
2) Riss med utfelt ettringitt i Sone 2 med relativt intakt sementpasta inntil 5 mm frå den eksponerte overflata (Område II, nærmere Sone 1, Figur 19).

Tilsett silikastøv var godt dispergert, utan teikn på silika klumper i sementpastaen. Det blei ikkje funne thaumasitt i prøve F50_N2.

Referansetynnslip F50_N2 I var karakterisert ved tilsynelatande intakt sementpasta, men hadde litt fleire mikroriss enn dei to andre reseptane.



Figur 18: Prøve F50_N2 Y Område I. Dobbeltpolarisert lys. Foto A viser omvandling til omkring 3,5 mm inn frå overflata med upåverka pasta innanfor (grøn pil). Ytterste del mot den eksponerte overflata (detalj i Foto B) har sterkt utluta pasta med utfelling av PCD (Cc) med Mg-substituert pasta innanfor (uformelt «M-C-S-H»), som representerer ei blanding av kryptokrystallinsk MSH og dekalsifisert CSH. Foto: Per Hagelia.



Figur 19: F50_N2 Y. Område II. Planpolarisert lys. Sekundær ettringitt i luftpore og i overflateparallele riss inntil 5 mm fra den eksponerte overflata. Merk at ettringitt-nålene var orientert normalt på rissa og har potensiale for ekspansjon ved krystallvekst i områder der mineralet fyller rissvolumet. Den blå ringen (lys blå epoxy) omkring ettringitt i luftporene tyder på delvis uttørking av mineralet ved preparering. Foto: Per Hagelia.

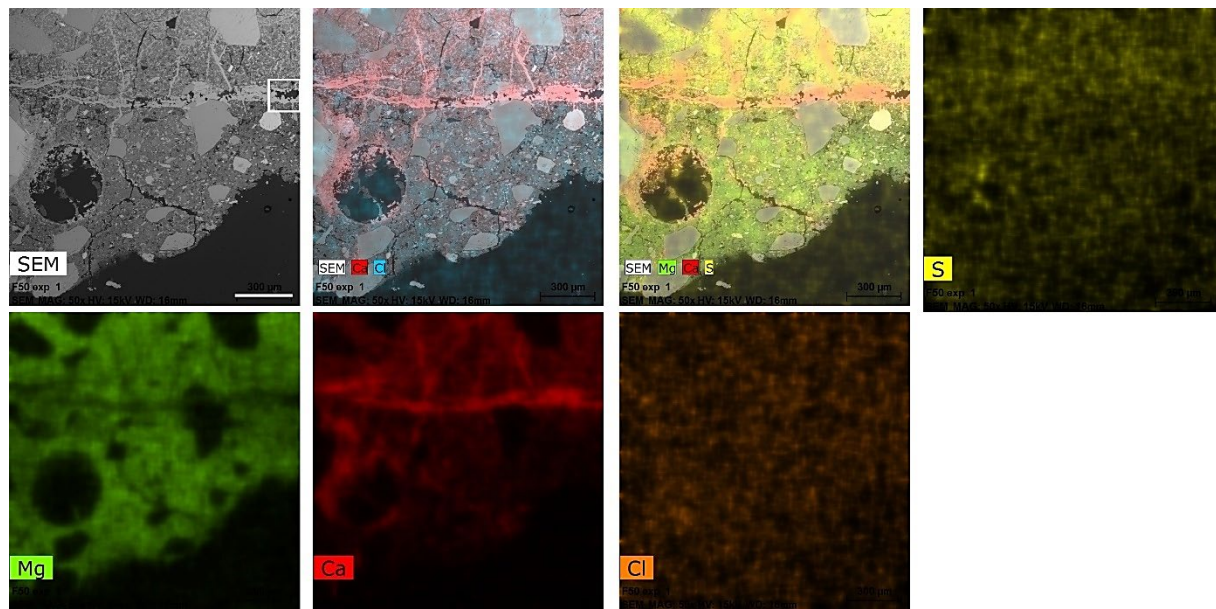
4.2.2 SEM

Ytre tynnslip F50_N2 Y

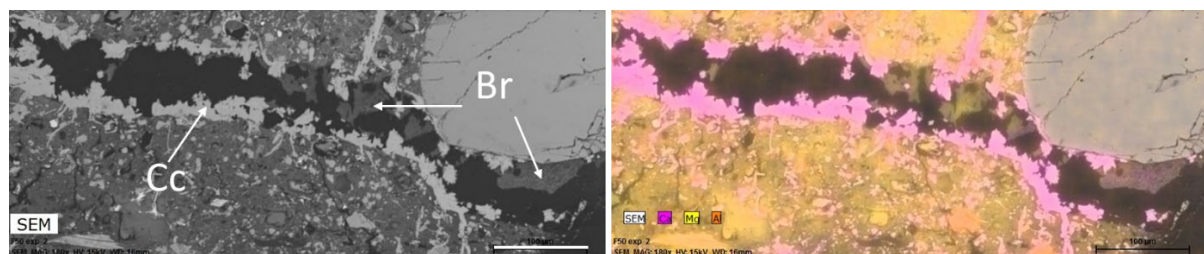
Område a (Figur 20, 21). Cementpastaen hadde lite kalsium i ytre del og var omvandla til dekalsifisert C-S-H og M-S-H. Den uformelle betegnelsen «M-C-S-H» er valgt fordi enkeltkrystallar av C-S-H og M-S-H er kryptokrystallinske og ikkje kan skiljast ut enkeltvis ved SEM analyse. Pastaen var også påverka av sulfat og kloridinnitrenging. Rissa var delvis opne og delvis fylte med kalsitt. Figur 21 viser at dette er utfelt kalsitt og brucitt. Merk at brucitt veks ut frå område i direkte kontakt med cementpasta og er ikkje i direkte kontakt med karbonatet. Dette reflektere lokale pH variasjonar: brucitt dannast ikkje ved $\text{pH} < 11$, medan vekst av kalsitt buffrar pH til omkring 7-8. Førekommst av brucitt vitnar om at alkalinnt porevatn siver ut i sprekken frå cementpasta under nedbryting.

Område b litt lengre inn (Figur 22) viser ein ganske skarp overgang mellom magnesiumførande cementpasta og meir intakt kalsium-rik pasta. Klorid og svovel fordeler seg ganske likt over området, men er tilsynelatande litt meir anrika i indre delar av den analyserte ramma med litt gjenværende CSH. Dette samsvarer med tidlegare undersøkingar som viser at MSH tar opp mindre S og Cl enn CSH (De Weerd og Justnes 2015). Det var litt fleire mikroris i ytre magnesiumrik del av pastaen.

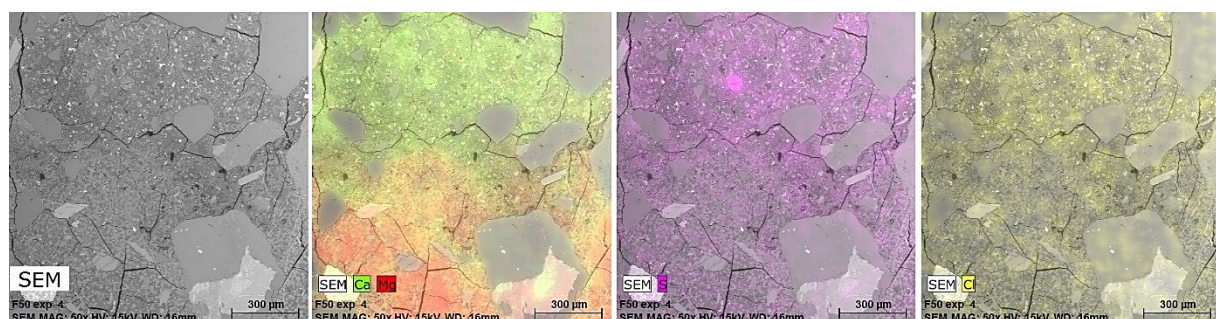
Mikroskopisk undersøking av betong eksponert i sjøvann i 25 år



Figur 20: F50_N2 Y, område a med riss fylt av kalsitt. Kalsium i sementpasten var i stor grad erstattet av magnesium. Pastaen viste også innstrenging av klorid og sulfat. Målestokk = 300 μ m. Foto/analyse: Nelia Castro, UiO/ Per Hagelia.



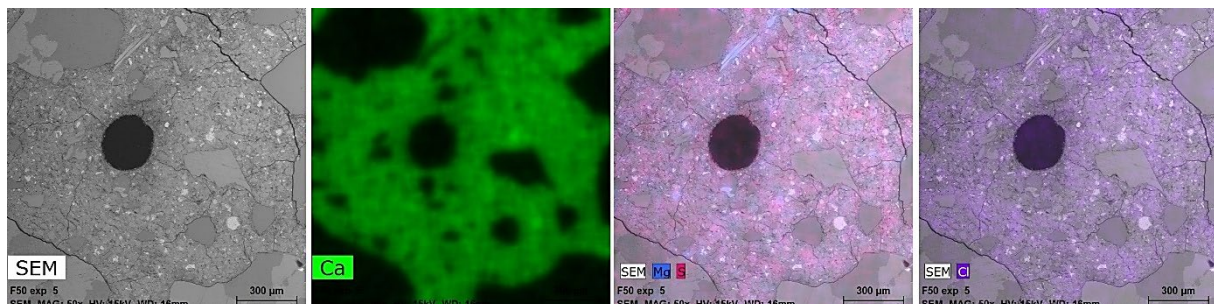
Figur 21: F50_N2 Y, detalj av riss i område a med kalsitt (Cc) og brucitt (Br). Målestokk = 100 μ m. Foto/analyse: Nelia Castro, UiO/ Per Hagelia.



Figur 22: F50_N2 Y, område b viser overgangen mellom magnesiumsubstituert sementpasta og normal C-S-H innanfor. Sulfat- og kloridinnhold var meir likt fordelt. Mikroriss var tilsynelatende litt meir utvikla i Mg-rik pasta. Målestokk = 300 μ m. Foto/analyse: Nelia Castro, UiO/ Per Hagelia.

Område c (Figur 23) viste kloridinnstrenging i sementpasten og innslag av svovel; for det meste knytta til sekundær ettringitt i luftporene.

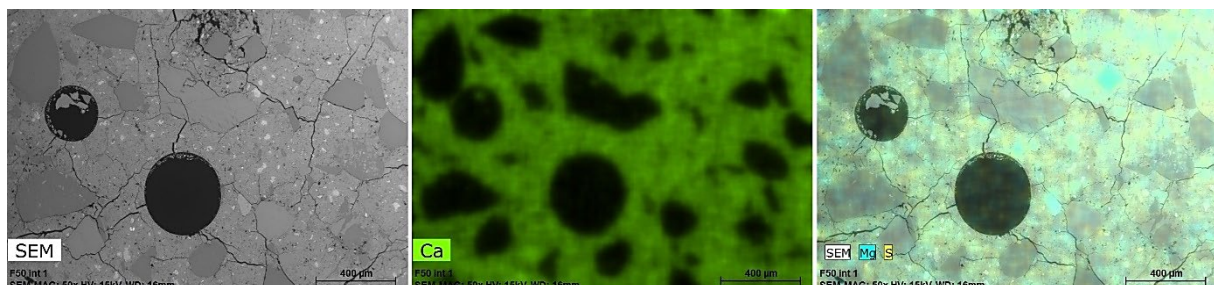
Mikroskopisk undersøking av betong eksponert i sjøvann i 25 år



Figur 23: F50_N2 Y, område c omkring 20 mm fra eksponert overflate. Sementpastaen hadde normalt innhold av kalsium uten særleg magnesium, og både sulfat og klorid. Målestokk = 300 μ m.
Foto/analyse: Nelia Castro, UiO/ Per Hagelia.

Referansetynnslip F50_N2 I

Prøva av ueksponert betong frå midten av testprismet hadde tydeleg innslag av svovel i sementpastaen (Figur 24). Årsaka er høgt gipsinhald i sementen. P30- sementen som blei brukt inneholdt 2,97 % SO₃ (Statens vegvesen 1995). Det blei ikkje påvist kloridinntrenging. Magnesium var tilsynelatande avgrensa til korn av glimmer og amfibol i tilslaget. Det var utvikla mikroriss over mesteparten av tynnslipet.



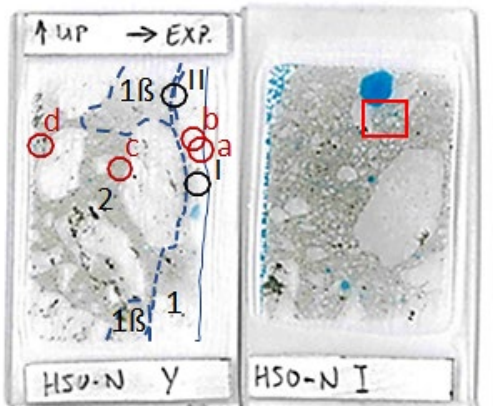
Figur 24: F50_N2 I frå område 15 cm under eksponert overflate. Sementpastaen var rik på kalsium, men viste også innslag sulfat som spreidde punkt, som truleg har mest primær ettringitt. Legg merke til kommuniserande mikroriss i bildet til venstre. Målestokk = 400 μ m. Foto/analyse: Nelia Castro, UiO/ Per Hagelia.

4.3 H50_N2 med kalkfiller

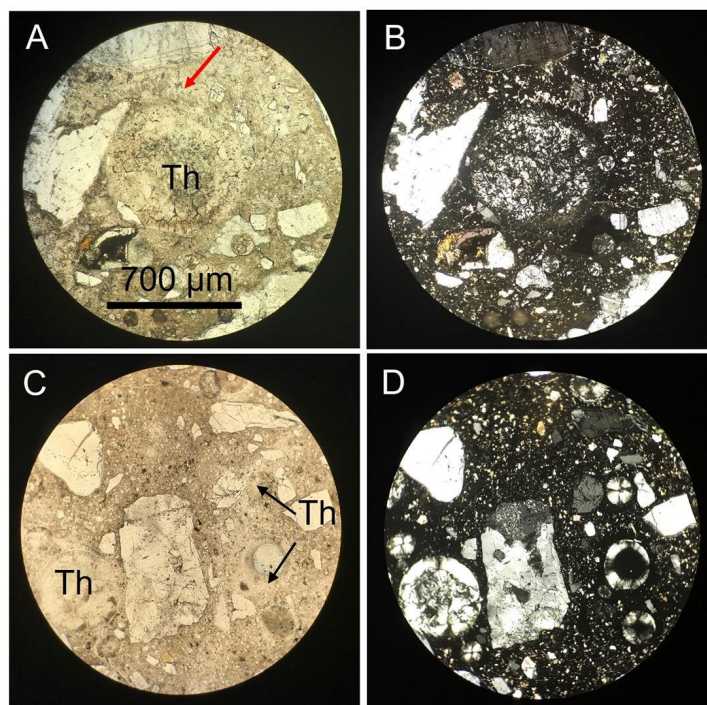
4.3.1 Petrografi

Figur 25 viser foto av tynnslip H50_N2 Y med eksponert overflate (pil – EXP). Denne betongen var meir påverka enn dei to andre reseptane. Den ytre reagerte sona varierte mellom 5 og 15 mm (1 & 1β). Sementpastaen lenger inne var gråbrun og relativt intakt (2). Referansetynnslip H50_N2 I frå 15 cm under overflata var karakterisert ved intakt gråbrun sementpasta. Steintilslaget var granitt/granittiskgneis. Sandtilslaget var dominert av kvarts.

Mikroskopisk undersøking av betong eksponert i sjøvatn i 25 år



Figur 25: Prøve H50_N2 med kalkfiller. Foto av tynnslipa fra eksponert betong (venstre) og ueksponert betong 15 cm under eksponert overflate (høgre). Det var tydeleg omvandling i ytre delar av eksponerte sjikt (Sone 1) og diffus utluting av cementpasta (Sone 1β). Cementpastaen var relativt intakt i området innanfor (sone 2). Svarte sirkler (I & II) = område vist i Figur 26. Rauda symbol = områda er undersøkt i SEM. Foto: Per Hagelia.



Figur 26: Prøve H50_N2 Y i planpolarisert lys (venstre) og dobbeltpolarisert lys (høgre). Område I (A og B), ca. 0,5-2 mm fra eksponert overflate, viser thaumasitt utfelt i ei stor luftpore (sentralt i bildet) og thaumasitt danna lokalt på bekostning av C-S-H (raud pil). Område II (C og D), ca. 5 mm fra overflata, viser thaumasitt i luftporer. Målestokken er den same i alle foto. Foto: Per Hagelia.

Område I (Figur 26, A & B) nær overflata hadde thaumasitt utfelt i luftporer. Thaumasitt var lokalt danna også på bekostning av cementpastaen, dvs. begynnande thaumasitt sulfatangrep (TSA) . I Område II omkring 5 mm fra overflata (Figur 26, C & D) var thaumasitt avgrensa til luftporer (heilt og delvis fylte med thaumasitt). Førstkomst av thaumasitt var knytta til lys utluta cementpasta i Sone 1. Thaumasitt blei ikkje observert i diffust utluta cementpasta i Sone 1β og heller ikkje i Sone 2. Det var teikn på sekundær utfelling av karbonat (PCD) fleire stader i Sone 1, men var delvis vanskeleg å skilje frå korn av finkorna kalkfiller. Sjå elles utfyllande detaljar i kap. 4.3.2.

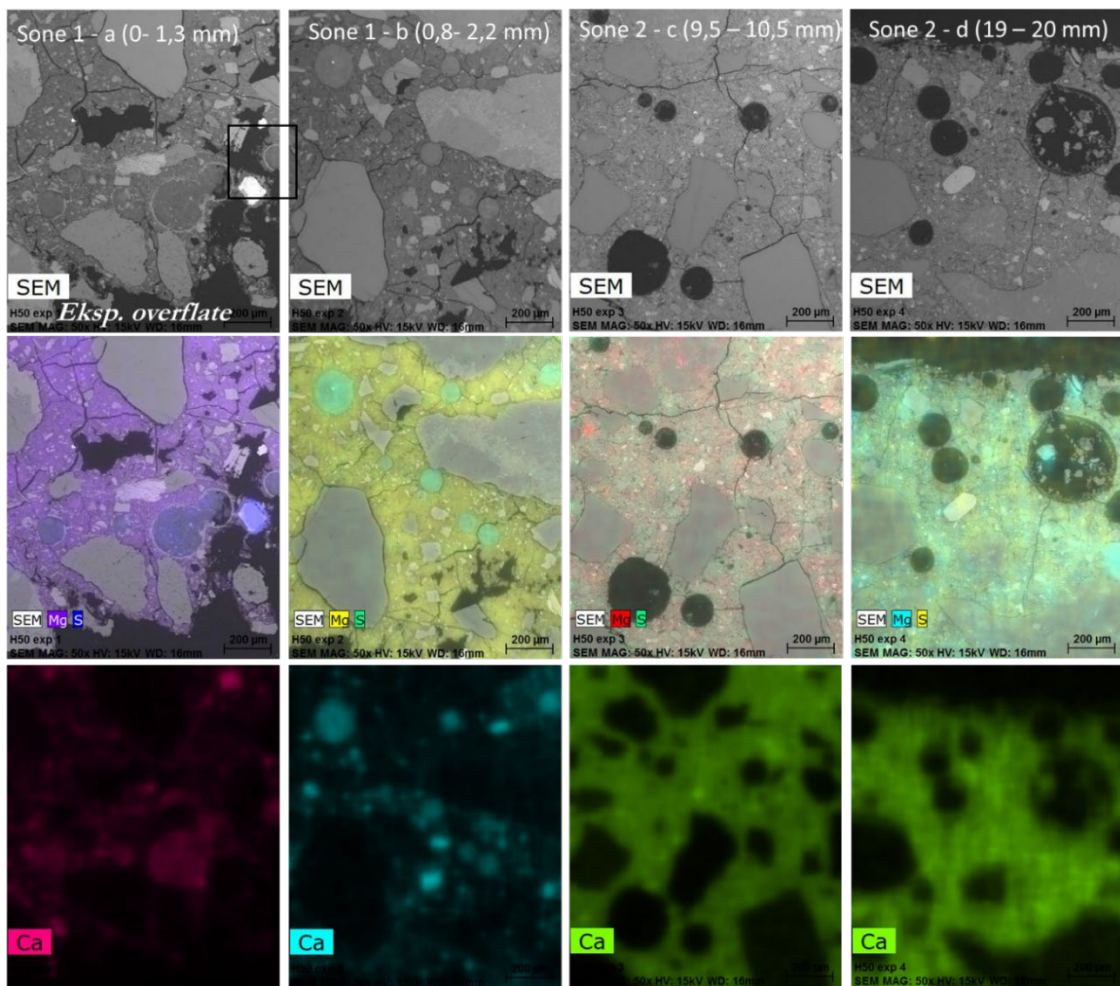
Mikroskopisk undersøking av betong eksponert i sjøvann i 25 år

Silikastøv var godt dispergert, uten teikn på udispergerte silikaklumper i sementpastaen. Tynnslipa viste stort innslag av relativt jamt fordelte små sirkulære luftporer, som tyder på lufttilførsel.

Referansetynnslip H50_N2 I var karakterisert ved tilsynelatende intakt sementpasta med nokre mikroriss, omtrent tilsvarende prøve B50_N2, men i mindre omfang enn i prøve F50_N2.

4.3.2 SEM

Ytre tynnslip H50_N2 Y



Figur 27: Samanstilling av SEM-backscatter bilder (øvste rad) og elementkart frå Sone 1 og Sone 2 gjennom tverrsnittet av tynnslip H50_N2 Y. Thaumasitt (høg intensitet av S og Ca) fylte luftporene inntil 2-2,5 mm under overflata. Merk at kalsium minkar mot overflata medan magnesium aukar. Målestokk = 200 μ m. Ramma i øvre venstre bilde er vist i detalj i Figur 29. Foto/analyse: Nelia Castro, UiO/ Per Hagelia.

Figur 27 viser elementkart av Sone 1 (Område a & b) og Sone 2 (Område c & d). Områda a og b (0-1,3 mm og 0,8-2,2 mm frå eksponert overflate) hadde krakelert sementpasta med svært lite kalsium og bestod av magnesium-silikat hydrat (M-S-H). Innimellom var det utfelt thaumasitt i luftporer, her vist med svovel og kalsium. Thaumasitt i Sone 1 (truleg saman med brucitt) hadde i nokre tilfelle magnesiumkalsitt utfelt langs kanten (sjå også Figur 29 med punktanalysar).

Mikroskopisk undersøking av betong eksponert i sjøvann i 25 år

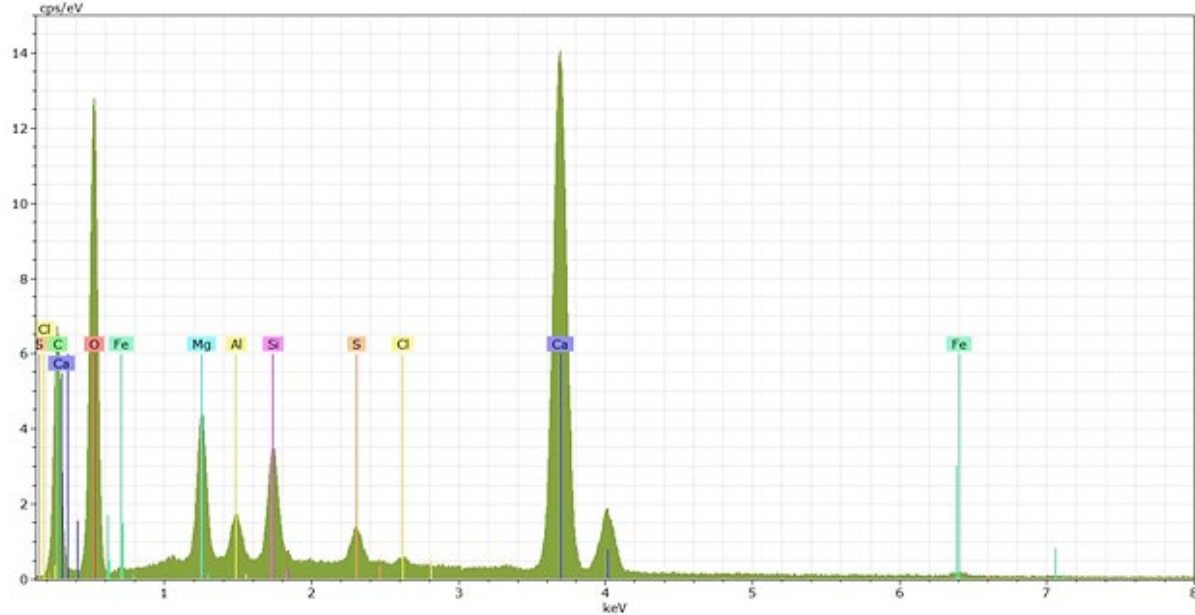
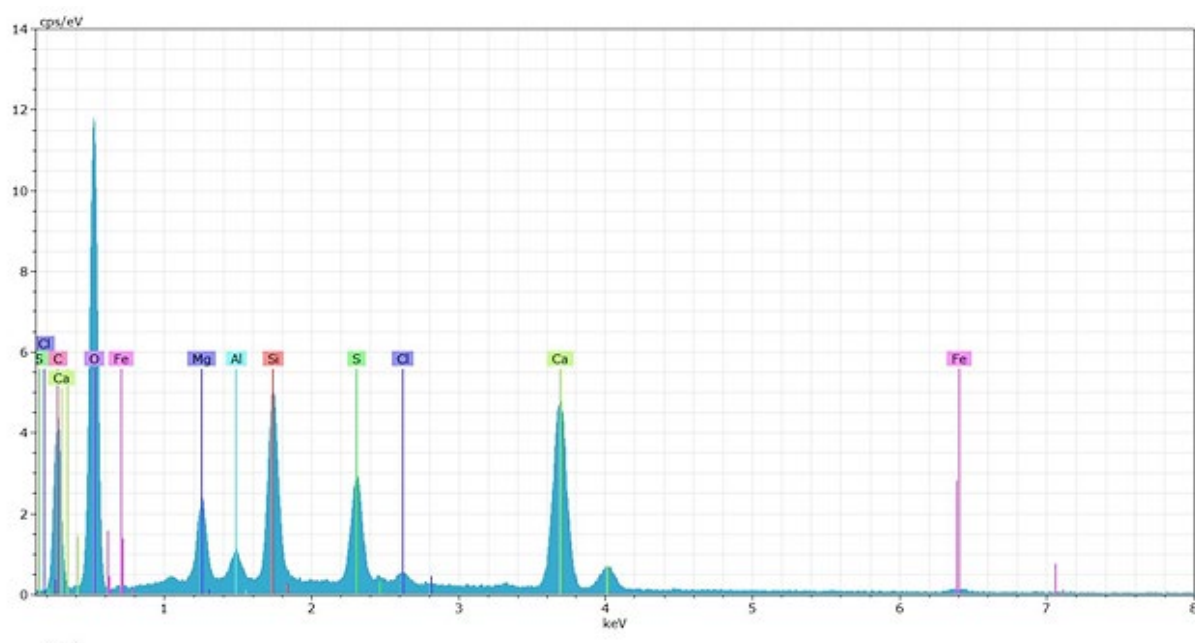
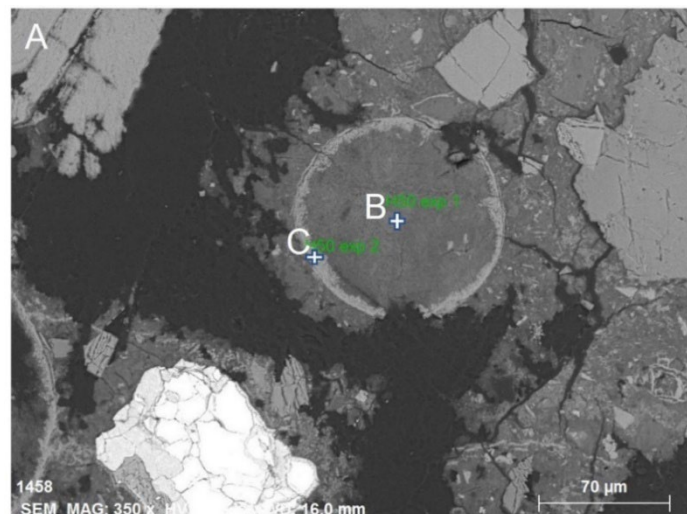
I Sone 2 *Område c* (9,5-10,5 mm fra overflata) var kalsiumkonsentrasjonen i sementpastaa mykje høgare og auka tilsynelatende innover i *Område d* (19-20 mm med høgare Ca intensitet). Magnesium var fortsatt til stades, men var her ujamt fordelt pastaaen. Nokre av tilslaga inneheld også magnesium. Sementpastaaen inneheld litt spreidd svovel.

Det ble ikkje utført systematiske kloridanalysar. Figur 28 viser eksempel på omfattande kloridinntrenging omkring 10 mm fra overflata.



Figur 28: Tynnslip H50_N2 Y. Eksempel på kloridinntrenging 10 mm inn fra overflata. I dette området var det også utvikla kommuniserande mikroriss. Foto: Nelia Castro, UiO/ Per Hagelia.

Mikroskopisk undersøking av betong eksponert i sjøvatn i 25 år

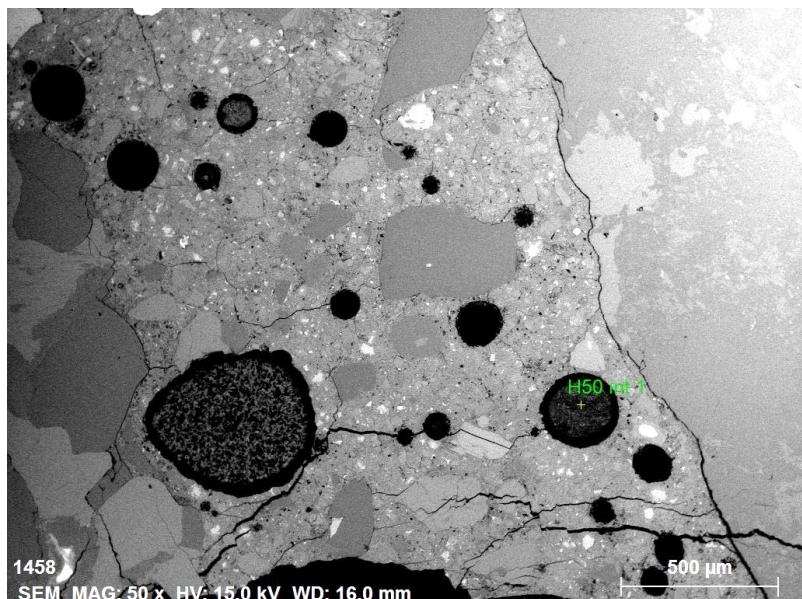


Mikroskopisk undersøking av betong eksponert i sjøvatn i 25 år

Figur 29 (førige side): Tynnslip H50_N2 Y, Sone 1. Punktanalysar frå Område a. EDX-spektrum B (øvst) er thaumasitt (Al-førande) med innblanding av ein magnesiumrik fase (truleg brucitt). Spektrum C av reaksjonsrand på bekostning av thaumasitt (nedst) viser magnesiumkalsitt med litt Al, Si og S; mest sannsynleg rest av ikkje-reagert thaumasitt. Nedbryting av thaumasitt til karbonatmineral er ofte observert i sprøytebetong. Reaksjonen fører til frigjering av sulfation frå thaumasitt, som i blant gir utfelling av gips på og nær tørre overflater (Hagelia og Sibbick 2009). Foto/analyse: Nelia Castro, UiO/Per Hagelia.

Referansetynnslip H50_N2 I

Det blei ikkje utført element mapping av dette tynnsippet. Figur 30 viser backscatterbilde av eit sentralt område av intakt cementpasta med nokre mikroriss. Luftporene inneholdt eit delvis oppløyst materiale som ikkje er identifisert. Analyse av pkt. H50 int er gitt i Tabell 3 og viser høgt innhald av karbon og lågt innhald av silisium. Dette er neppe reagert silikastøv som bare burde førekommme i cementpastaen og som elles har svært høgt innhald av Si. Det låge innhaldet av Si og svært høgt C samsvarer heller ikkje med silisiumkarbid (SiC), som er brukt ved preparering av tynnslipa. Analysen viser også eit tydeleg innslag av Ca og reflekterer truleg innverknad frå cementpasta.



Figur 30: Fragment i luftporer i tynnslip H50_N2-I. Foto: Nelia Castro, UiO/ Per Hagelia.

Mikroskopisk undersøking av betong eksponert i sjøvann i 25 år

Tabell 3: Semi-kvantitativ analyse av fragment i luftpore.

| Bruker Nano GmbH, Germany | 24.11.2020 | | | |
|---------------------------|------------|----------|--|----------|
| Quantax | | | | |
| Results | H50 int 1 | | | |
| Date: | 24.11.2020 | | | |
| Element | AN | series | [wt.%] [orm. wt.%] [orm. at.%] (1 Sigma) | |
| Carbon | 6 | K-series | 39,90824 43,61027 57,21267 | 4,854775 |
| Oxygen | 8 | K-series | 28,23638 30,85569 30,38884 | 3,581068 |
| Silicon | 14 | K-series | 9,119863 9,965853 5,591328 | 0,407562 |
| Calcium | 20 | K-series | 9,308423 10,1719 3,999253 | 0,309005 |
| Aluminium | 13 | K-series | 1,769861 1,934039 1,129487 | 0,111425 |
| Sodium | 11 | K-series | 0,661348 0,722697 0,495341 | 0,072392 |
| Sulfur | 16 | K-series | 0,864834 0,94506 0,464405 | 0,060199 |
| Magnesium | 12 | K-series | 0,389796 0,425955 0,276154 | 0,050048 |
| Iron | 26 | K-series | 0,825477 0,902051 0,254515 | 0,064612 |
| Potassium | 19 | K-series | 0,426888 0,466487 0,188003 | 0,043018 |
| | | Sum: | 91,51111 100 100 | |

5 Diskusjon

5.1 Eksponeringsforhold, nedbryting og mogleg vidare utvikling

Med utgangspunkt i den sterkt varierende vassføringa i Fiskåbekken (Næs mfl. 2021), som har utløp til sjøen rett ved testområdet, er det sannsynleg at eksponeringsklasse XA2 dominerte i testperioden og at klasse XA1 førekomm ved høg vassføring i fleire periodar i året. Det er ingenting som tyder på forhold tilsvarende klasse XA3 på noko tidspunkt: Eksponeringsforholda har vore prega av brakkvatn og er ikkje representativ for ordinært sjøvann. Eksponeringsklassen for den undersøkte betongen med omsyn til kloridpåverknad var XS2 (permanent neddykka).

Undersøkinga viser at eksponering i brakkvatn har gitt ulike type nedbrytingsreaksjonar med ulikt omfang i dei tre utvalde reseptane. *Det er likevel verd å merke at nedbrytingsreaksjonane i alle tilfelle hadde eit relativt lite omfang, og at dei ikkje har ført til strukturelle skadar på makroskala etter 25 års eksponering* (Sjå Figur 8 & 9). Diskusjonen er derfor avgrensa til nedbrytingsfenomenet observert på mikroskala og forskjellar mellom reseptane som kan seie noko om potensialet for vidare utvikling på lang sikt.

Referansebetongen (B50_N2) hadde få mikroriss og viste svært lite nedbryting (inntil ca. 1,5 mm frå overflata). Betongen med høgt bindemiddelinnhald og 12,5 % silikastøv (F50_N2) var overraskande sterke påverka inntil 3,5 mm frå overflata. Nedbrytinga omfatta utluting av kalsium og innstrenging av magnesium og svovel med utfelling av kalsitt (PCD) som totalt danna ein litt porøs ytre cementpasta. Denne betongen hadde også to typar overflateparallelle mikroriss inntil 5 mm frå overflata; eitt med utfelling av karbonat og brucitt og eitt med utfelling av ettringitt. Ettringitt hadde vokse på tvers av risset og har truleg bidratt til ekspansjon.

Betongen med 17,5 % kalkfiller (H50_N2) viste som venta førekommst av thaumasitt. Effekten av sulfatangrep var mest tydeleg inntil ca. 2,5 mm og var nært knytta til kraftig utluting av kalsium i cementpastaaen. Thaumasitt var for det meste passivt utfelt i luftporene, men pastaen omkring var porøs og erstatta med magnesium som dannar ikkje-sementererande MSH. Det var også ujamt fordelt diffus utluting innover til omkring 15 mm under overflata. Konsentrasjonane av bikarbonat på staden er generelt låge og er ikkje tilstrekkelege som karbonatbidrag til thaumasitt. Det vesentlege av karbonatet i thaumasitt er utan tvil frå kalkfiller.

Designlevetida for konstruksjonsbetong er 100 år, og resultata frå feltstasjonen i Kristiansand utgjer 25 % av denne tida. Undersøkinga som er rapportert her var avgrensa til betongoverflater omkring 25 cm under sjøoverflata. Det er naturlegvis vanskeleg å framskrive vidare utvikling. Vi kan likevel generelt konstatere:

- Referansebetongen (B50_N2) viser ingen vesentlege teikn på nedbryting og vil truleg ha svært lang levetid.
- Betong med høgt silika og høgt bindemiddelinnhald (F50_N2), med tydeleg utluting av kalsium, typisk sjøvassangrep frå magnesium og sekundær ettringitt på overflateriss, er blitt meir porøs og meir utsett for vidare angrep. Dei sekundære minerala viser at ytre deler av porevatnet har lågare pH enn upåverka betong.
- Betong med kalkfiller (H50_N2), som var påverka av thaumasitt sulfatangrep, magnesiumangrep og utfelt karbonat (PCD) viser at pH i porevatnet er lågare enn i upåverka betong. Nedbrytingsreaksjonane har ført til auka (sekundær) porøsitet. Denne betongen er i prinsipp mest open for vidare angrep.

5.2 Kva kan vere årsaka til høgare kloridinntrenging i brakkvatn enn i sjøvatn?

I samband med prosjektarbeidet i DURMARE er det vist at kloridinntrenginga i reseptane B, F og H eksponert i brakkvatn i Kristiansand er signifikantert høgare enn i dei same reseptane på feltstasjonen i Sandnessjøen, der saliniteten er omtrent som sjøvatn. Samanlikninga er i begge tilfelle basert på betongkjernar frå nedre neddykka deler av testprøvene. Dette er omvendt av det ein kunne vente, og står fram som eit tilsynelatande paradoks. Det er neppe grunn til at dette har si årsak i den litt kortare eksponeringstida i Sandnessjøen (21 år mot 25 år i Kristiansand).



Figur 31: Testprøvene frå Kristiansand (A og B) viste lokalt (B) sporadisk vekst av rur, medan prøvene frå Sandnessjøen (C) var sterkt tilgrodd med rur. Foto: Stig H. Helgestad, Statens vegvesen.

Fotografi av prøvene viser at betongen i Kristiansand i svært liten grad var tilgrodd med rur, medan betongen frå feltstasjonen i Sandnessjøen var sterkt tilgrodd (Figur 31). Rur hadde her danna eit tykt og i stor grad samanhengande ytre lag i nedre neddykka deler av alle prøvene .

Rur har generelt eit svært godt feste mot underlaget og dannast ganske raskt der forholda ligg til rette. Det er derfor svært sannsynleg at tykke lag med rur vil motverke effekten av kloridinntrenging. Dette ser ut til å vere ei god forklaring på at betongen eksponert i sjøvatn i Sandnessjøen har lågare innhald av klor enn betongen som var eksponert i brakkvatn i Kristiansand.

Eksempelet viser at det alltid er viktig å beskrive omfanget av tilgroing med rur på eksponerte testprøver. Det er sannsynleg at tilgroing ikkje er likt utvikla på alle prøver og dette kan ha innverknad på vurderingar av kloridmotstanden til ulike betongreseptarar. I samband med langtidsforsøk bør ein monitorere dei eksponerte flatene i faste intervall, og i tilfelle med aukande tilgroing ta sikte på å fjerne rur for å sikre like eksponeringsforhold for alle prøvene/reseptane.

6 Konklusjon

Undersøkingane av tre utvalde testprøver med ulike reseptar eksponert i brakkvatn i 25 år viste:

- Referansebetongen B50_N2 hadde bare ei tynn ytre karbonatisert sone og hadde svært få mikroriss. Denne betongen var elles svært lite påverka av sulfat og viste ikkje innitrenging av magnesium
- Betongen med høgt silikainnhald og høgt bindemiddelinnhald (F50_N2) hadde ei ytre porøs sone og er dermed potensielt mindre motstandsdyktig enn referansebetongen
- Betongen med kalkfiller (H50_N2) viste eit tidleg stadium av thaumasitt sulfatangrep og størst omfang av nedbryting og potensiale for vidare nedbryting
- Alle betongane viste kloridinntrenging inntil minst 20 mm under den eksponerte overflata.
- Dei observerte nedbrytingsmekanismane hadde ikkje ført til strukturelle skadar på makroskala etter 25 års eksponering
- Samanlikning av resultata frå feltstasjonen i Kristiansand og andre feltstasjonar med tanke på vidare utvikling av reseptar og regelverk bør baserast på sikker klassifisering av eksponeringsmiljøa på kvart testområde
- Det er grunn til å tru at sterkt tilgroing med rur på testprøver i nokon grad motverkar kloridinntrenging. Variabel tilgroing på eit og same testfelt kan gi ulike eksponeringsforhold for kvar prøve og kan dermed ha innverknad på vurderingar av kloridmotstand til ulike betongreseptar

Takk til:

Nélia Castro, Naturhistorisk museum, Universitetet i Oslo for teknisk hjelp og utføring av SEM-analyse og Jan Kihle Institutt for energiteknikk, Kjeller for preparering av tynnslipa. Forfattaren takkar også for kommentarar frå Klaartje De Weerdt, Bård Pedersen, Eva Rodum og Malene Thostrup Pedersen.

7 Referansar

Bastiansen R, Moum J, Rosenqvist I Th (1957): Bidrag til belysning av visse bygningstekniske problemer ved Oslo-områdets alunskifere. NGI rapport nr 22.

Chabrelie A (2010): Mechanisms of Degradation of Concrete by External Sulfate Ions under Laboratory and Field Conditions. PhD-thesis, École Polytechnique Fédérale du Lausanne.

Crammond NJ (2003): The thaumasite form of sulfate attack in the UK. Cement and Concrete Composites, 25, 809-818.

De Weerdt K, Justnes H (2015): The effect of seawater on the phase assemblages of hydrated cement paste. Cement & Concrete Composites, 55, 215-222.

Fiskaa O, Hansen H, Moum J (1971): Betong i alunskifer. Resultater av alunskiferutvalgets forsøksvirksomhet 1947-1963. NGI rapport nr 86.

Fiskaa O (1973): Betong i alunskifer. Resultater av alunskiferutvalgets forsøksvirksomhet 1963-1972. NGI rapport 101.

Hagelia P, Sibbick RG, Crammond NJ, Grønhaug AG, Larsen CK (2001): Thaumasite and subsequent secondary calcite deposition in sprayed concrete in contact with sulfide bearing Alum Shale, Oslo, Norway. 8th Euroseminar on Microscopy Applied to Building materials, p 131-138, Athens, Greece. September 2001.

Hagelia P, Sibbick RG, Crammond NJ, Larsen CK (2003): Thaumasite and secondary calcite in some Norwegian concretes. Cement & Concrete Composites, 25, 1131-1140.

Hagelia P, Sibbick RG (2009): Thaumasite Sulfate Attack, Popcorn Calcite Deposition and acid attack in concrete stored at the "Blindtarmen" test site Oslo, from 1952 to 1982. Materials Characterisation, 60, 686-699.

Hagelia P (2011): Deterioration Mechanisms and Durability of Sprayed Concrete for Rock Support in Tunnels. PhD-thesis, Technische Universiteit Delft.

Hagelia P (2018): Oppsummering av tilstandsutvikling i sprøytebetong som bergsikring. Etatsprogrammet Varige konstruksjonar 2012-2015. Statens vegvesens rapportar Nr. 566.

Hooton RD, Nokken M, Thomas MDA (2002): Portland-limestone cement: State of the art and gap analysis for CSA A 3000. Cement Association of Canada, report SN3053, University of Toronto.

Isaksen, H.R. and Holtmon, J.P. (1994): Rapport fra produksjon av prøveelementer. FoU-prosjekt: Utvikling av kloridbestandig betong, 94-13 BRU.

Moum J Rosenqvist I Th (1959): Sulphate attack on concrete in the Oslo region. Journal of the American Concrete Institute, Proceedings, Paper 56 -18, 8 pp.

Næs K, Staalstrøm A, Haraldstad T (2021): Utslipp og spredning av PAH til sjø fra Elkem Carbon AS, Kristiansand. NIVA RAPPORT L.NR. 7583-2021

Rahman MM, Bassouni MT (2014): Thaumasite sulfate attack on concrete: Mechanisms, influential factors and mitigation. Construction and Building Materials 73, 652–662.

Sibbick RG, Fenn D, Crammond NJ (2003): The occurrence of thaumasite as a product of seawater attack. Cement & Concrete Composites, 25, 1059-1066.

Mikroskopisk undersøking av betong eksponert i sjøvatn i 25 år

Sotiriadis K, Nikolopoulou E, Tsivilis S, Pavlou A, Chaniotakis E, Swamy RN (2013): The effect of chlorides on the thaumasite form of sulfate attack of limestone cement concrete containing mineral admixtures at low temperature. Construction and Building Materials 43, 156-164.

Statens vegvesen (1995): Utvikling av kloridbestandig betong. Resepter og fastheter. Bruavdelingen Rapport 95-07.

Zhou Q, Hill J, Byars EA, Cripps CJ, Lynsdale CJ, Sharp JH (2006): The role of pH in thaumasite sulfate attack. Cement and Concrete Research, 36, 160-170.

Vedlegg 1 Oppsummering av resultat fra Blidtarmen i Oslo (1957-1971)

Det blei plassert ut totalt 212 prøver i Blidtarmen testfelt for betong i alunskifermiljø. Tabellen under er henta frå Hagelia og Sibbick (2009) og bygger på rapportar frå Fiskaa mfl. (1971) og Fiskaa (1973). Alle testprismar ($10 \times 10 \times 40 \text{ cm}^3$) var permanent neddykka i alunskifervatn. Serie 1-9 blei lagt ned i 1952, Serie 10-14 i 1957 og Serie 15-16 blei lagt ned i 1960.

Table 2: Synthesis of Blidtarmen test data from [5] and [9]; * SF = silica fume from Fiskaa Verk; ** Slag from Christiania Spigerverk. *** = Franzefoss limestone. Strength data recalculated from kp/cm^2 in original work.

| Series/ cement type | Additives (% of cement weight) or air entrainment (% additional air volume) | w/c | Permeability (cm/s) of ref. samples (1967) | Volume loss (dm ³)/ exposure time (start to 1972) | - Compressive strength in ref. samples (year measured) - % strength loss on exposure | Overall performance |
|--|--|------|---|---|---|---------------------------|
| 1/ Nor PC (11.9 % C ₃ A) | None | 0.50 | 1.1×10^{-10} | 0.50/ 20 yrs | - 48 MPa (1957) - 28 % | Severe attack |
| 2/ Danish SRPC (5% C ₃ A & 10 % molére) | None | 0.50 | 7.5×10^{-11} | 0.10/ 20 yrs | - 55 MPa (1972) - 35 % | Good |
| 3/ Finnish Ferrari Cement | None | 0.51 | | 0.13/ 20 yrs | Not established | Good |
| 4/ American Type 5 SRPC (3.3 % C ₃ A) | None | 0.50 | 1.7×10^{-12} | 0.09/ 20 yrs | - 50 MPa (1957) - 1-9 % | Very good |
| 5/ Nor PC | Air entrained (4 %) | 0.52 | 2.5×10^{-10} | 2.10/ 20 yrs | - 41 MPa (1957) - 34-53 % | Very severely attacked |
| 6/ 85 % Nor PC | 15 % SF* | 0.62 | 1.04×10^{-11} | 0.10/ 20 yrs | - 46 MPa (1972) - 31 % | Good |
| 7/ 85 % Nor PC | 15 % slag** | 0.50 | 1.01×10^{-11} | 1.40/ 20 yrs | - 37 MPa (1957) - 16-44 % | Severe attack |
| 8/ Nor PC | 8 % crushed limestone fines (D ₅₀ = 0.01 mm)*** | 0.52 | 7.1×10^{-11} | 2.66/ 20 yrs | - 46 MPa (1957) - 30-31 % | Very severely attacked |
| 9/ Nor PC | 8 % crushed calcite fines (D ₅₀ = 0.03 mm) | 0.51 | 1.6×10^{-10} | 1.56/ 18.9 yrs | - 54 MPa (1957) - 29-50 % | Severe attack |
| 10/ Nor PC | Air entrained (4.3 %) | 0.50 | n.a | 0.26/ 14.2 yrs | Not established . . | Severe attack |
| 11/ English sulfacrete (2.6 % C ₃ A) | None | 0.50 | n.a | 0.06/ 14.2 yrs | - 72 MPa (1972) - 7 % | Very good |
| 12/ 85 % Nor PC | 15 % Trass | 0.50 | n.a | 0.02/ 14.2 yrs | - 50 MPa (1972) - 6 % | Very good |
| 13/ 85 Nor PC | 15 % Trass & crushed calcite sand replacing sand fraction | 0.50 | n.a | 0.11/ 14.2 yrs | Not established | Good |
| 14/ 45 % Nor PC | 45 % Trass 10 % Portlandite | 0.50 | n.a | 0.06/ 14.2 yrs | - 44 MPa (1972) - 22 % | Very Good |
| 15/ Danish Type 5 SRPC (0.9 % C ₃ A) | None | 0.50 | n.a | 0.01/ 11.2 yrs | - 70 MPa (1972) - 16 % | Very good |
| 16/ Danish Marine cement (0.9 % C ₃ A with 10 % molére) | None | 0.50 | n.a | 0.01/ 11.2 yrs | - 66 MPa (1972) - 3 % | Very good |

Note: 8 % of the sand fraction in Series no 8 and 9 was replaced by calcium carbonate fines.

Vedlegg 2 Betongreseptar – feltstasjonen ved Fiskå, Kristiansand

Tabellen viser alle reseptane som var eksponerte over 25 år i Kristiansand fra mai 1994. Prøver fra neddykka del av prøvene B, F og H er undersøkt i denne rapporten.

| Råvare | Resept A A-ref. | B B-ref. | H B-fil. | Q B-VS | O B-HS | E B-MP | D B-SR | F S-ref. | R S-VS | G S - 45 | J S - 33 | I B-inh.1 | K B-inh.2 | M S-inh.2 | L B-fob. | N S-fob. | P B-ltx. |
|------------------------------|--------------------|-------------|-------------|-------------|-------------|-------------|-------------|-------------|-------------|-------------|-------------|--------------|--------------|--------------|-------------|-------------|-------------|
| Sement | 331 | 371 | 385 | 380 | 375 | 384 | 375 | 399 | 400 | 325 | 433 | 380 | 380 | 400 | 376 | 396 | 377 |
| Silika | 15,5 | 15,1 | 15,5 | 15,6 | 13,4 | 29,7 | 49,9 | 49,9 | 49,9 | 32,5 | 28,8 | 16,4 | 16,1 | 50 | 15,7 | 49,5 | 8,2 |
| Fritt vann | 168,8 | 146,5 | 159,6 | 155,5 | 154,3 | 153,2 | 158,9 | 187,1 | 185,6 | 166 | 158,7 | 154,2 | 146,1 | 188,9 | 146,4 | 180,9 | 142,8 |
| Absorbert vann | 13,4 | 12,8 | 12,1 | 13 | 12,9 | 13,2 | 12,8 | 12,2 | 12,2 | 13,2 | 12,6 | 13 | 12,9 | 12,1 | 12,8 | 12 | 12,6 |
| Filler | | | 70 | | | | | | | | | | | | | | |
| Tørr sand 0-8 mm | 1008 | 923 | 863 | 980 | 965 | 1015 | 961 | 883 | 880 | 899 | 920 | 968 | 964 | 873 | 949 | 867 | 993 |
| Tørr pukk 8-16 mm | 860 | 899 | 872 | 833 | 834 | 821 | 824 | 843 | 846 | 866 | 868 | 859 | 852 | 846 | 842 | 834 | 743 |
| inhibitor 1 | | | | | | | | | | | | | | | | | |
| inhibitor 2 | | | | | | | | | | | | | | | | | |
| hydrofiber | | | | | | | | | | | | | | | | | |
| Polymer | | | | | | | | | | | | | | | | | |
| P-stoff | 1 | 1,2 | 1,5 | 0,8 | 0,8 | 1,4 | 0,5 | 1,8 | 1,1 | 1,4 | 1,9 | 1,4 | 1,4 | 1,4 | 1,8 | 1,8 | 36,1 |
| SM-110 | | 1,4 | 2,3 | 1,5 | 2 | 1,5 | 1,1 | | | | | 2,3 | 2 | 2 | 2,2 | | 1,7 |
| Mighty 150 | | | | | | | | | | | | | | | | | |
| Tilsatt L-stoff | Nei | Ja | Ja | Ja | Ja | Ja | Nei | Nei | Nei | Ja | Ja | Ja | Ja | Ja | Ja | Ja | |
| Tilsatt R-stoff | Nei | Nei | Nei | Nei | Nei | Nei | Nei | Nei | Nei | Nei | Nei | Nei | Nei | Nei | Nei | Nei | |
| Fersk romvekt | 2382 | 2370 | 2381 | 2380 | 2360 | 2403 | 2362 | 2378 | 2376 | 2394 | 2424 | 2396 | 2379 | 2377 | 2353 | 2347 | 2314 |
| Tot. vann | 182,2 | 159,3 | 171,8 | 168,5 | 167,2 | 166,4 | 171,6 | 199,3 | 197,8 | 179,3 | 171,3 | 167,2 | 159,1 | 201 | 159,1 | 192,9 | 155,5 |
| Luft %, PF-målt | 2,3% | 4,2% | 3,1% | 3,3% | 4,1% | 1,8% | 3,6% | 1,2% | 1,4% | 1,7% | 1,6% | 2,7% | 3,8% | 1,1% | 4,2% | 2,4% | 4,5% |
| Sugporositet, % | 12,3% | 11,2% | 11,9% | 11,2% | 10,7% | 11,9% | 12,3% | 14,8% | 13,2% | 12,6% | 11,5% | 12,2% | 11,1% | 14,9% | 9,2% | 12,9% | 8,3% |
| Tilslag volum % | 69% | 67% | 67% | 66% | 68% | 66% | 64% | 64% | 68% | 66% | 67% | 67% | 67% | 63% | 66% | 63% | 64% |
| Pasta % ekskl. luft | 29% | 29% | 30% | 30% | 30% | 31% | 35% | 35% | 30% | 32% | 30% | 29% | 36% | 30% | 35% | 35% | 31% |
| m = fritt vann/(c+s) | 0,51 | 0,38 | 0,40 | 0,39 | 0,39 | 0,42 | 0,41 | 0,46 | 0,41 | 0,34 | 0,39 | 0,37 | 0,42 | 0,42 | 0,37 | 0,41 | 0,37 |
| m = tot. vann/(c+s) | 0,55 | 0,41 | 0,43 | 0,43 | 0,42 | 0,43 | 0,44 | 0,44 | 0,50 | 0,37 | 0,42 | 0,40 | 0,45 | 0,41 | 0,43 | 0,40 | |
| m = fritt vann/(c+2s) | 0,51 | 0,36 | 0,38 | 0,38 | 0,37 | 0,37 | 0,37 | 0,43 | 0,43 | 0,32 | 0,37 | 0,35 | 0,41 | 0,39 | 0,38 | 0,37 | |
| m = tot. vann/(c+2s) | 0,55 | 0,40 | 0,41 | 0,41 | 0,41 | 0,40 | 0,39 | 0,40 | 0,40 | 0,46 | 0,35 | 0,41 | 0,39 | 0,40 | 0,39 | 0,40 | |

Tabell 3 Tabellen viser betongens sammensetning og beregnede masseforhold. Utøvet masseforhold blir benyttet dersom annet ikke er spesifisert.



Statens vegvesen
Pb. 1010 Nordre Ål
2605 Lillehammer

Tlf: (+47) 22 07 30 00

firmapost@vegvesen.no

ISSN: 1893-1162

vegvesen.no

Tryggere, enklere og grønnere reisehverdag